

---

# Zobrazovací metody, které musím umět 24/7

Martin Hutyra

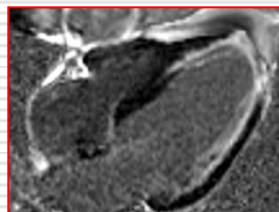
1. interní klinika – kardiologická, Lékařská fakulta Univerzity Palackého a Fakultní nemocnice Olomouc

**České kardiologické dny, Top Hotel, Praha, 20. – 21. listopadu 2017**

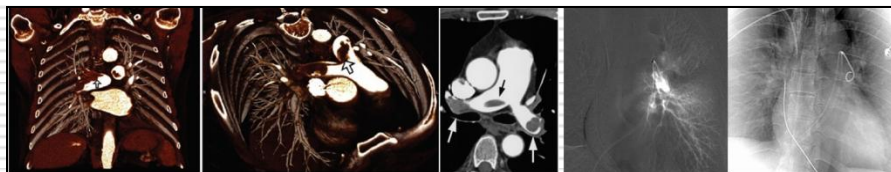


# Zobrazovací metody srdce

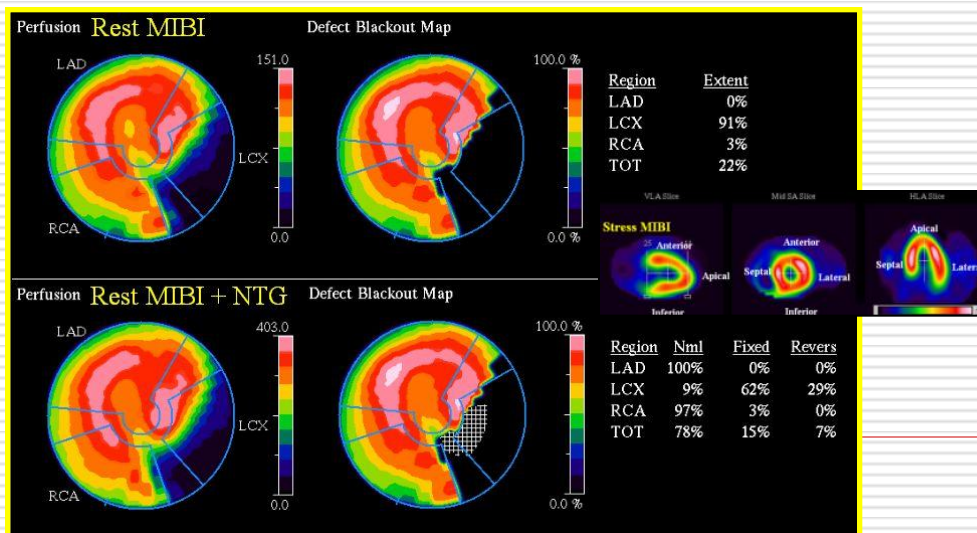
## Magnetická rezonance



## CT



## SPECT a PET myokardu

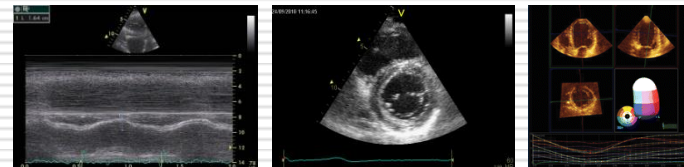


## Echokardiografie – TTE, TEE, ICE



# TTE/TEE/ICE a způsoby zobrazení

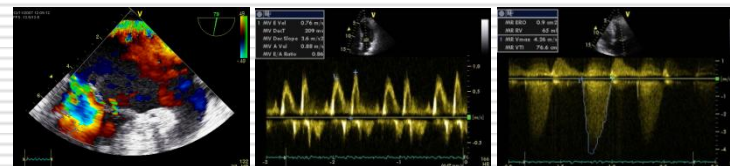
- **MM/2DE/RT 3DE**



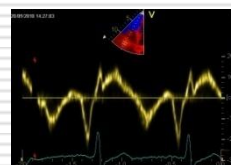
- **CEE**



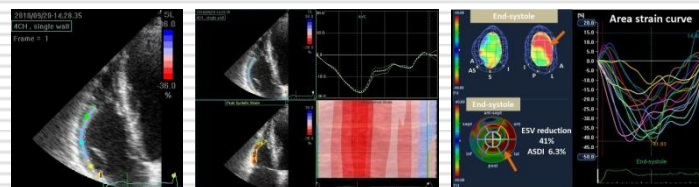
- **Doppler (CFM, PWD, CWD)**



- **Tissue Doppler imaging**



- **2D/3D strain**



Clinical update




## Ultrasound of extravascular lung water: a new standard for pulmonary congestion

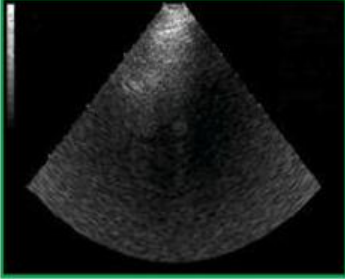
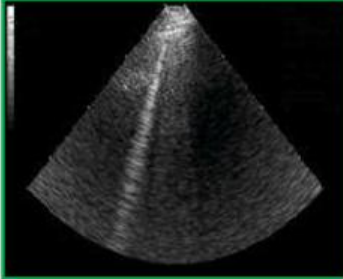
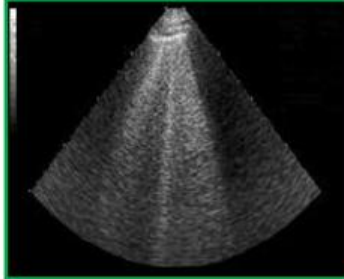
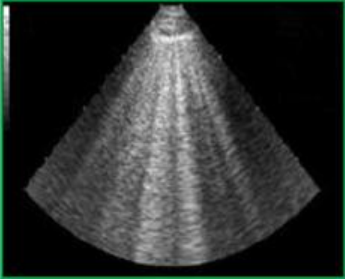
Eugenio Picano<sup>1\*</sup> and Patricia A. Pellikka<sup>2</sup>

<sup>1</sup>CNR Institute of Clinical Physiology, Italian National Research Council, Pisa 56124, Italy; and <sup>2</sup>Department of Cardiovascular Diseases, Mayo Clinic College of Medicine, Rochester, MN, USA

# UZ vyšetření hrudníku

Right side	Mid-axillary	Anterior axillary	Mid-clavicular	Para-sternal	Inter-costal space	Para-sternal	Mid-clavicular	Anterior axillary	Mid-axillary	Left side
					2					
					3					
					4					
					5					

Normal Lung

B-lines -Mild

Moderate

Severe



# Kdy, komu a proč?



Systolické srdeční selhání	Srdeční selhání se zachovanou ejekční frakcí levé komory	Plicní embolie	Tamponáda*
<ol style="list-style-type: none"> <li>1. EFLK &lt; 45–50 %</li> <li>2. LVEDD &gt; 55 mm a/nebo &gt; 32 mm/m<sup>2</sup></li> <li>3. LVESD &gt; 45 mm<sup>a</sup> a/nebo &gt; 25 mm/m<sup>2</sup></li> <li>4. LVEDV &gt; 97 ml/m<sup>2</sup></li> <li>5. LVESV &gt; 43 ml/m<sup>2</sup></li> <li>6. Abnormální kinetika</li> <li>7. Funkční MíR a/nebo TR</li> <li>8. Vrcholová rychlost TR &gt; 3 m/s</li> <li>9. Aortální časově-rychlostní integrál &lt; 15<sup>a</sup></li> <li>10. Diastolická dysfunkce (E/A ≥ 2 + DT &lt; 150 ms indikují zvýšené plicní tlaky LV)<sup>b</sup></li> <li>11. Ultrazvukové plicní komety<sup>c</sup></li> </ol>	<ol style="list-style-type: none"> <li>1. EFLK ≥ 50 %</li> <li>2. LVEDV &lt; 97 ml/m<sup>2</sup></li> <li>3. LVESV &lt; 43 ml/m<sup>2a</sup></li> <li>4. E-e' ≥ 13<sup>b</sup></li> <li>5. Ar-A ≥ 30 ms</li> <li>6. Objem levé síně ≥ 34 ml/m<sup>2</sup></li> <li>7. Vrcholová rychlost TR &gt; 3 m/s</li> <li>8. Ultrazvukové plicní komety<sup>c</sup> + známky a symptomy srdečního selhání</li> </ol>	<ol style="list-style-type: none"> <li>1. Trombus v pravostranných srdečních oddílech</li> <li>2. Abnormální pohyb septa komor</li> <li>3. Dilatace pravé síně, pravé komory (poměr end-diastolických rozměrů, resp. ploch pravé a levé komory &gt; 0,6, resp. &gt; 1,0)</li> <li>4. Globální hypokineze pravé komory</li> <li>5. McConnellovo znamení hyperkineze hrotu pravé komory<sup>d</sup></li> <li>6. Lehká až těžká TR</li> <li>7. Plicní hypertenze přibližně 40–50 mm Hg (&gt; 60 mm Hg v případě preexistující plicní hypertenze)</li> </ol>	<ol style="list-style-type: none"> <li>1. Obvykle velký perikardiální výpotek</li> <li>2. Obraz „swingujícího“ srdce</li> <li>3. Kolaps pravé síně (zřídka levé síně)</li> <li>4. Diastolický kolaps volné stěny pravé komory (zřídka levé komory)</li> <li>5. Dilatace IVC (bez kolapsu v inspiriu)</li> <li>6. Nárůst transtrikuspidálního toku a pokles transmitrálního toku v průběhu inspira (opačný děj v expiriu)</li> <li>7. Redukce systolických a diastolických toků v systémových žilách a nárůst revezního toku při pravosíňové kontrakci během expiria</li> </ol>

# Co lze očekávat od zobrazovacích metod v prostředí IP/ER?

---

- ✓ Stanovení **diagnózy** s možností volby kauzální terapie
- ✓ Predikci krátkodobé a dlouhodobé **prognózy**
- ✓ Optimalizace **terapie**
  - Hemodynamika
  - Zajištění centrálního žilního a arteriálního vstupu
  - Guiding punkčních výkonů (perikard, pleura,...)

---

# **(DIFERENCIÁLNÍ) DIAGNÓZA**

# Bolesti na hrudi

Přehledový článek | Review article

**Využití echokardiografie v akutní kardiiovaskulární péči.**  
 Souhrn dokumentu připravený Českou kardiologickou společností

(The use of echocardiography in acute cardiovascular care.  
 Summary of the document prepared by the Czech Society of Cardiology)

Martin Hutvra<sup>a</sup>, Tomáš Paleček<sup>b</sup>, Milan Hromádka<sup>a</sup>

 European Heart Journal (2012) 33, 2551–2567  
 doi:10.1093/eurheartj/ehs184

**EXPERT CONSENSUS DOCUMENT**

## Third universal definition of myocardial infarction

Kristian Thygesen, Joseph S. Alpert, Allan S. Jaffe, Maarten L. Simoons, Bernard R. Chaitman and Harvey D. White: the Writing Group on behalf of the Joint ESC/ACC/AHA/WHF Task Force for the Universal Definition of Myocardial Infarction

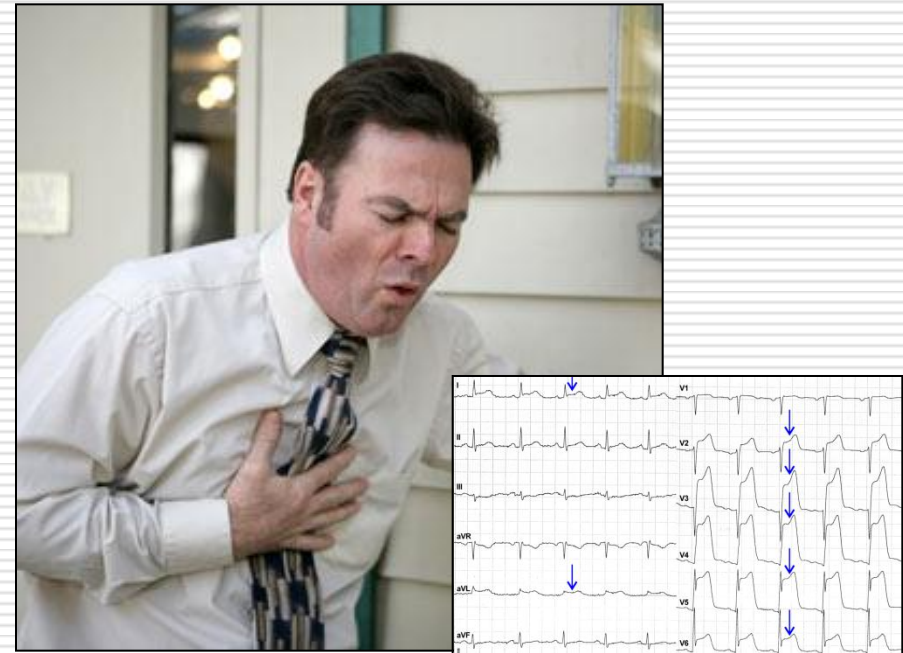
### Doporučení pro provedení echokardiografie u nemocných s akutní bolestí na hrudi

Echokardiografické vyšetření je doporučeno:

1. při podezření na myokardiální ischemii, **nediagnostickém** EKG a markerech myokardiální nekrózy, pokud je možné echokardiografické vyšetření provést při trvající bolesti na hrudi;
2. při známém onemocnění srdce (chlopenní vada, choroba myokardu či perikardu);
3. při hemodynamické nestabilitě neodpovídající na jednoduchá léčebná opatření;
4. při podezření na akutní aortální syndrom, myokarditidu, perikarditidu či plicní embolii.

Echokardiografické vyšetření není doporučeno:

1. při zjevné nekardiální příčině bolesti na hrudi;
2. při trvající bolesti na hrudi u nemocného s potvrzenou diagnózou ischemie/infarktu myokardu.



### Definition of myocardial infarction

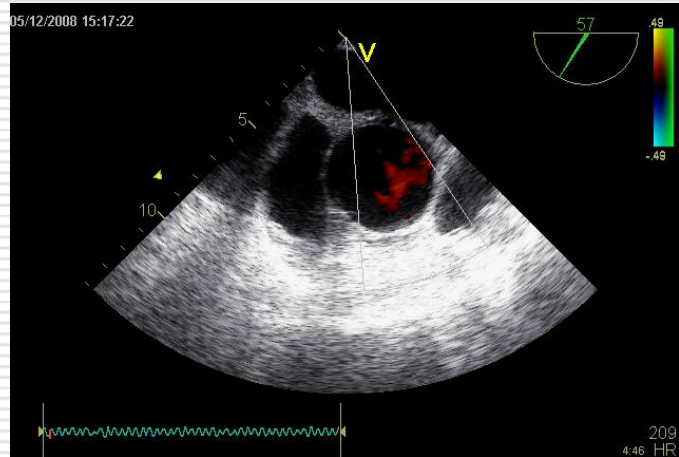
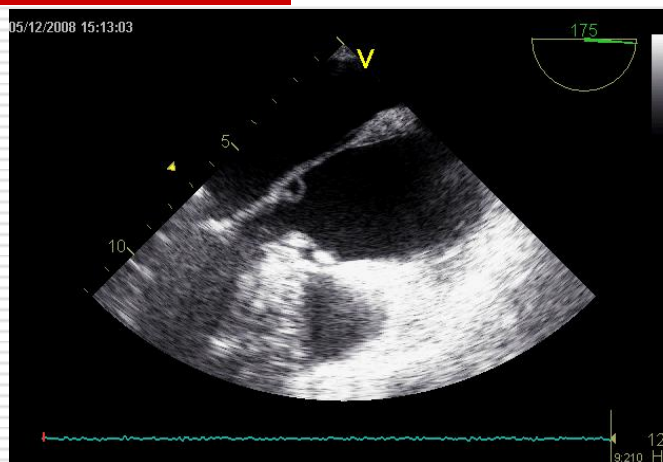
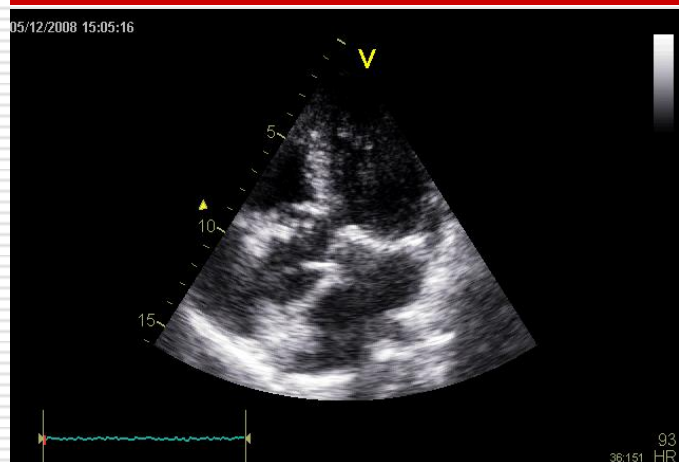
#### Criteria for acute myocardial infarction

The term acute myocardial infarction (MI) should be used when there is evidence of myocardial necrosis in a clinical setting consistent with acute myocardial ischaemia. Under these conditions any one of the following criteria meets the diagnosis for MI:

- Detection of a rise and/or fall of cardiac biomarker values [preferably cardiac troponin (cTn)] with at least one value above the 99<sup>th</sup> percentile upper reference limit (URL) and with at least one of the following:
  - Symptoms of ischaemia.
  - New or presumed new significant ST-segment–T wave (ST–T) changes or new left bundle branch block (LBBB).
  - Development of pathological Q waves in the ECG.
  - **Imaging evidence of new loss of viable myocardium or new regional wall motion abnormality.**
  - Identification of an intracoronary thrombus by angiography or autopsy.



# Aortální disekce prox.



# Dušnost a oběhová nestabilita

Přehledový článek | Review article

Využití echokardiografie v akutní kardiovaskulární péči.  
 Souhrn dokumentu připravený Českou kardiologickou společností

(The use of echocardiography in acute cardiovascular care.  
 Summary of the document prepared by the Czech Society of Cardiology)

Martin Hutyrá<sup>a</sup>, Tomáš Paleček<sup>b</sup>, Milan Hromádka<sup>c</sup>

## Doporučení pro provedení echokardiografie u pacientů prezentujících se šokem

Echokardiografické vyšetření je doporučeno:

1. Pro diferenciální diagnostiku příčiny hypotenze nebo šoku detekcí srdečních nebo nekardiálních příčin oběhové nestability.
2. V rámci rozlišení různých srdečních příčin kardiogenního šoku a podpory léčebných postupů včetně chirurgické intervence.

## Doporučení pro provedení echokardiografie u nemocných s akutní dušností

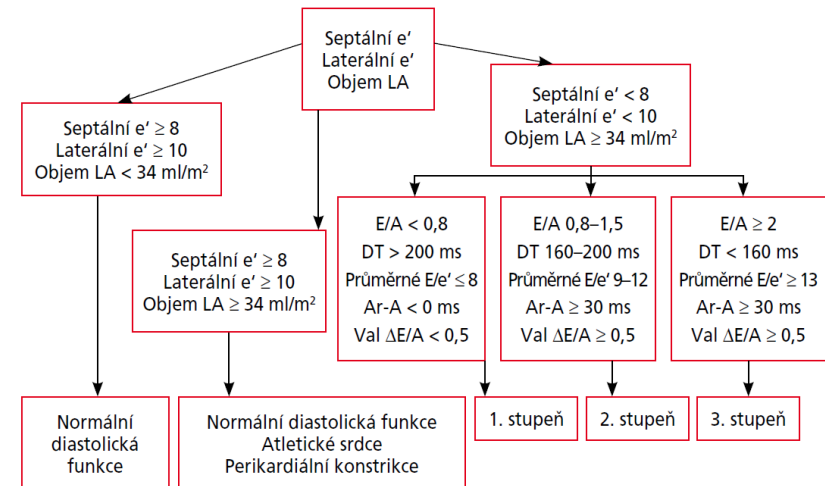
Echokardiografické vyšetření je doporučeno:

1. pro odlišení kardiální vs. nekardiální etiologie dušnosti u nemocných s nejednoznačnými klinickými a laboratorními nálezy;
2. pro zhodnocení velikosti a funkce levé komory u nemocných se suspektní klinickou diagnózou srdečního selhání;
3. při určování příčiny selhání odpojení od umělé plicní ventilace.

Echokardiografické vyšetření není doporučeno:

1. při zjevné nekardiální příčině dušnosti.

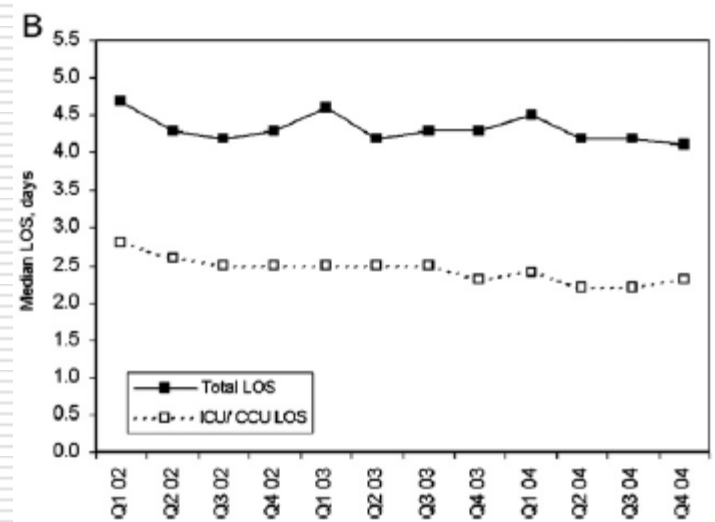
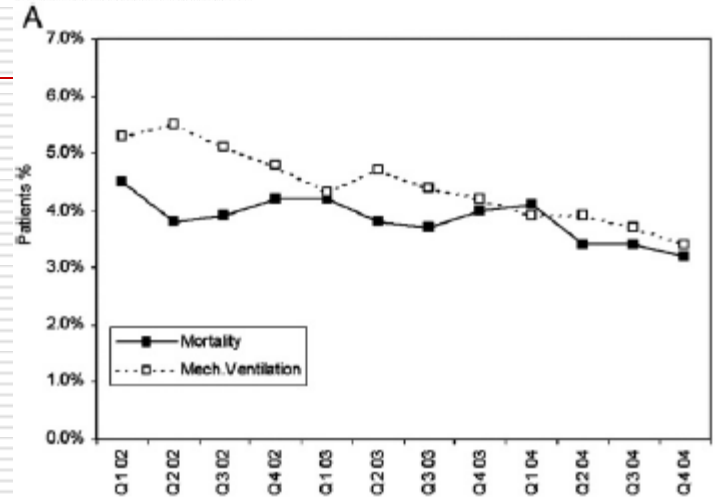
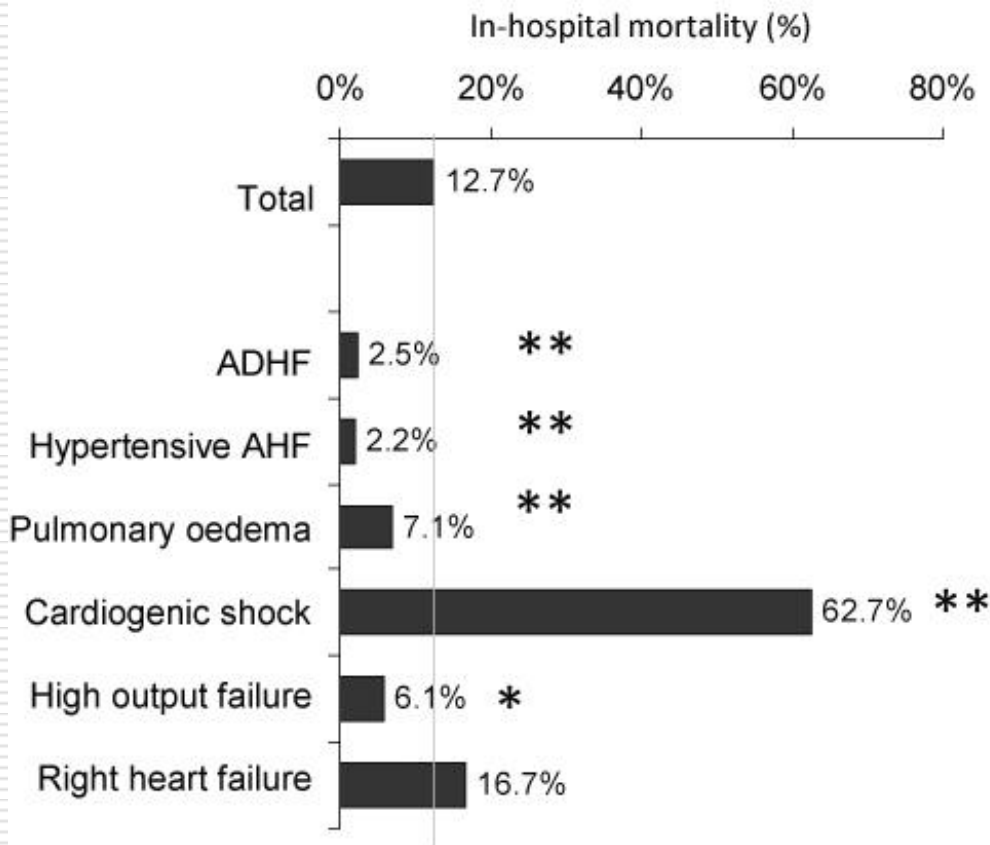
Praktický přístup k hodnocení diastolické dysfunkce levé komory pomocí echokardiografie



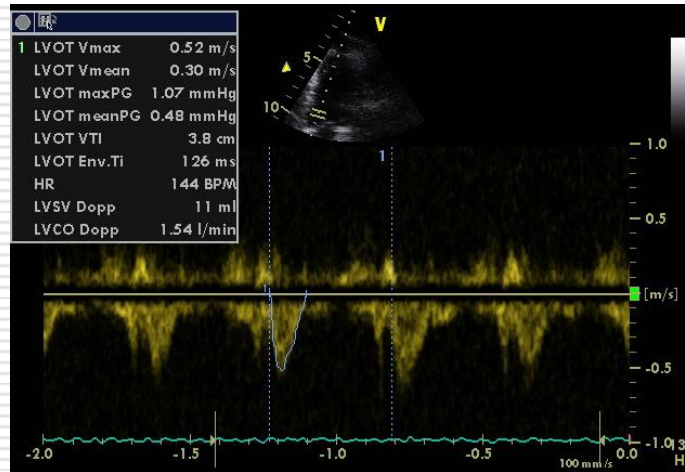
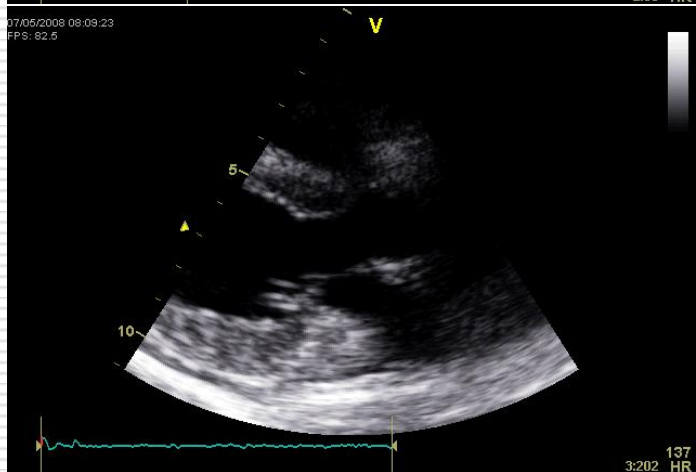
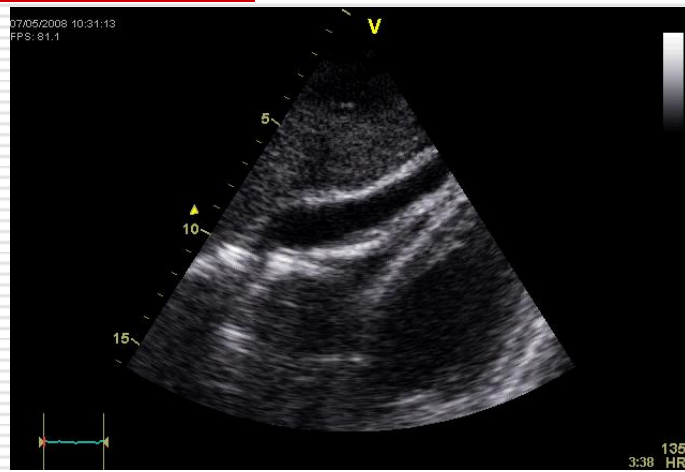
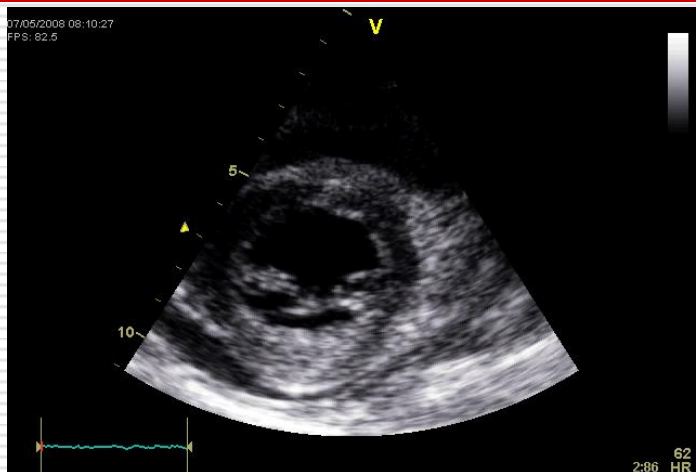
**Temporal trends in clinical characteristics, treatments, and outcomes for heart failure hospitalizations, 2002 to 2004: findings from Acute Decompensated Heart Failure National Registry (ADHERE)**

Gregg C. Fonarow, MD,<sup>a</sup> J. Thomas Heywood, MD,<sup>b</sup> Paul A. Heidenreich, MD, MS,<sup>c</sup> Margarita Lopatin, MS,<sup>d</sup> and Clyde W. Yancy, MD,<sup>e</sup> for the ADHERE Scientific Advisory Committee and Investigators Los Angeles, La Jolla, Palo Alto, and Fremont, CA; and Dallas, TX

# Kardiogenní šok

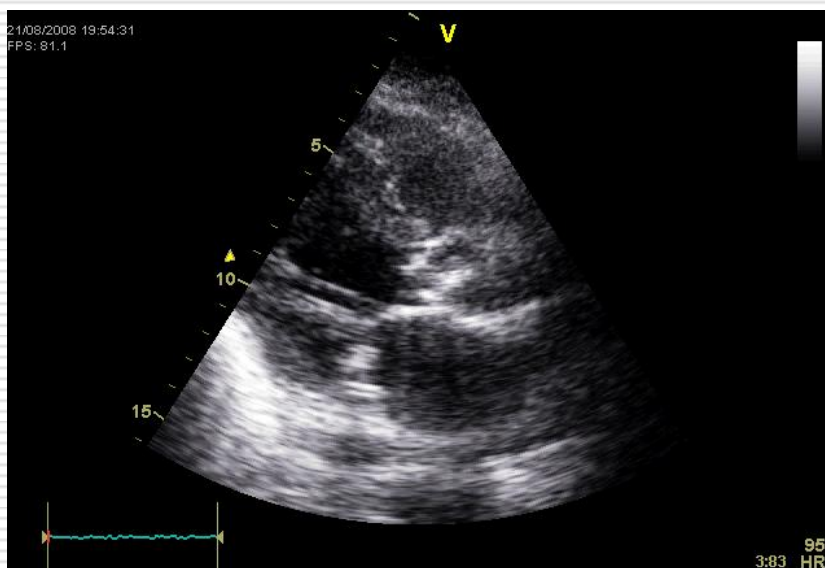


# Akutní myokarditida



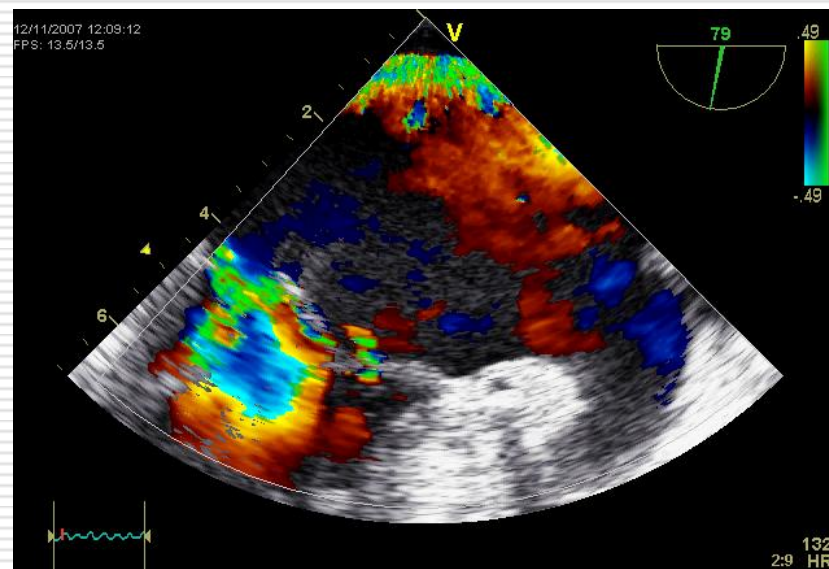
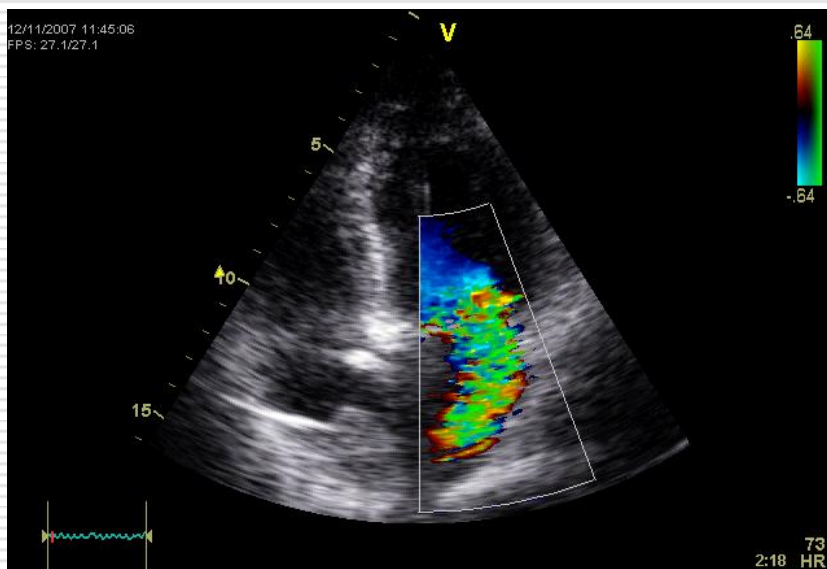
# Akutní aortální regurgitace, destrukce chlopně infekční endokarditidou

---



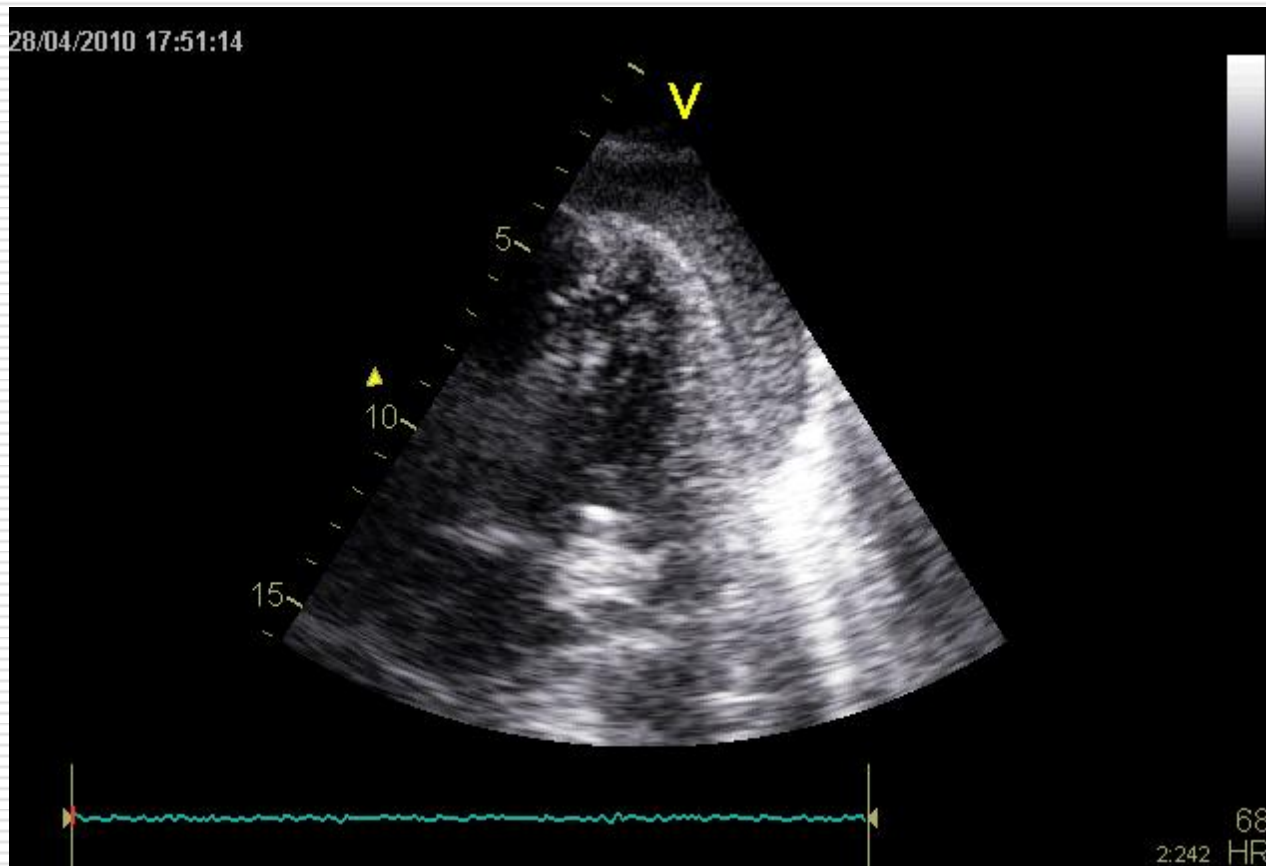
# Akutní ischemická mitrální reg.

---

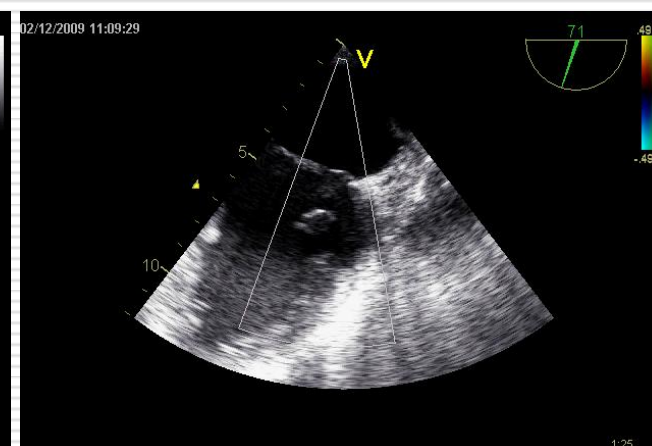
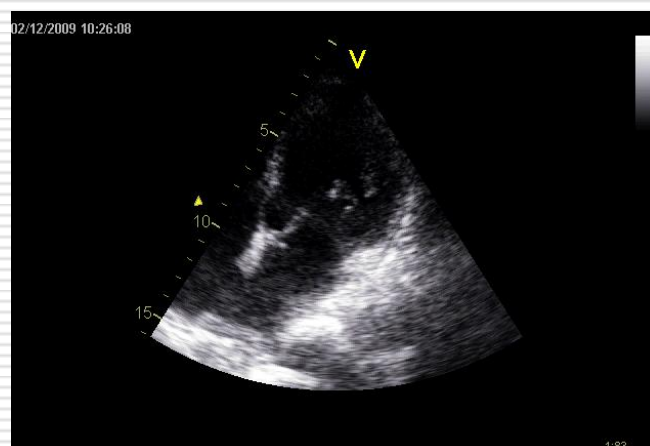
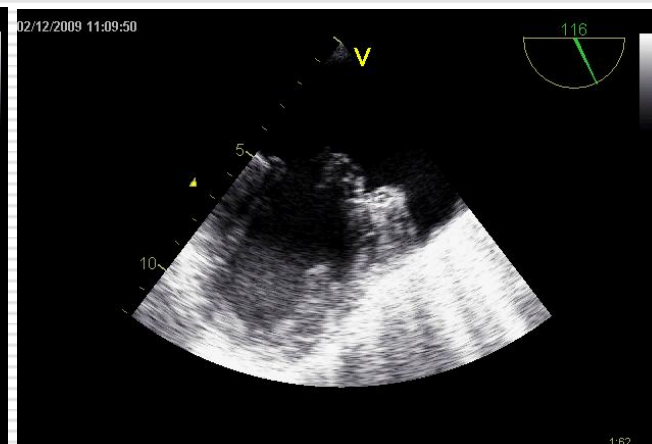
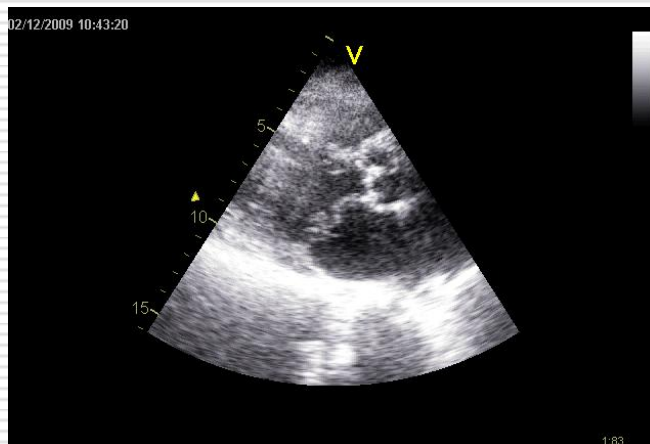
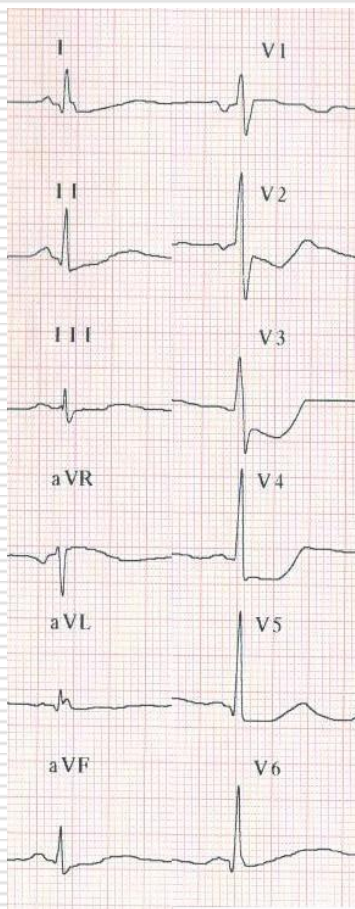


# Akutní srdeční tamponáda, ruptura stěny LK

---

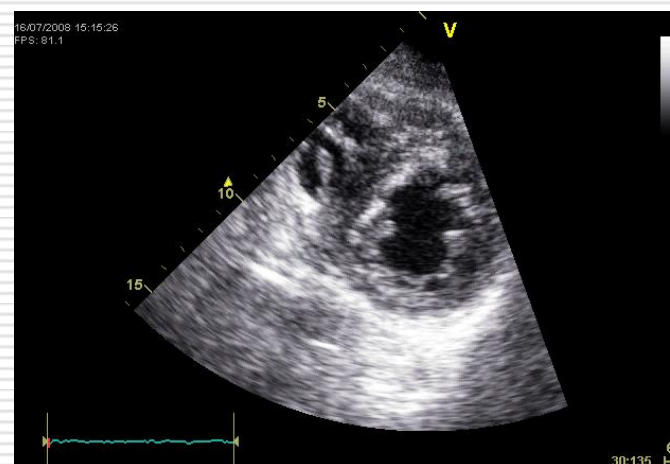
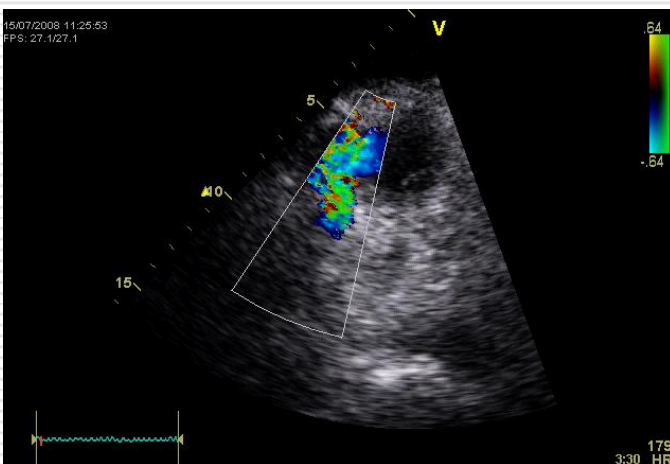
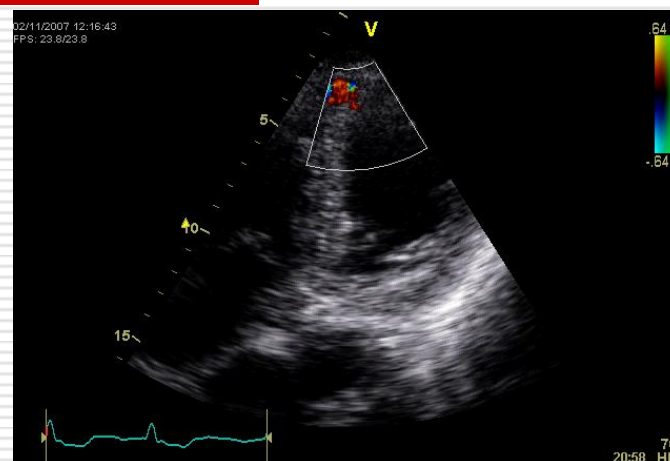
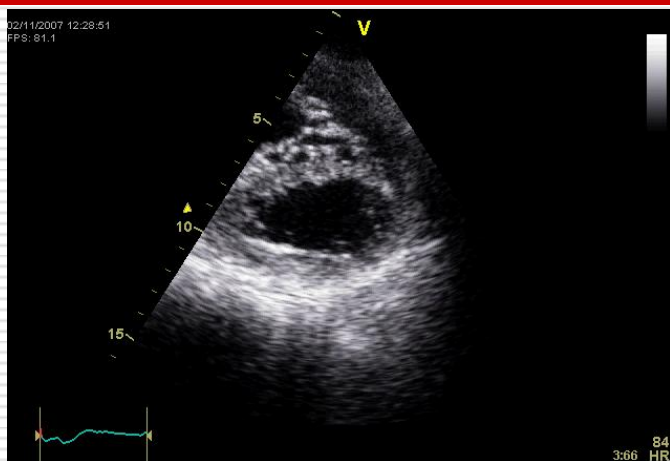


# Ruptura papilárního svalu

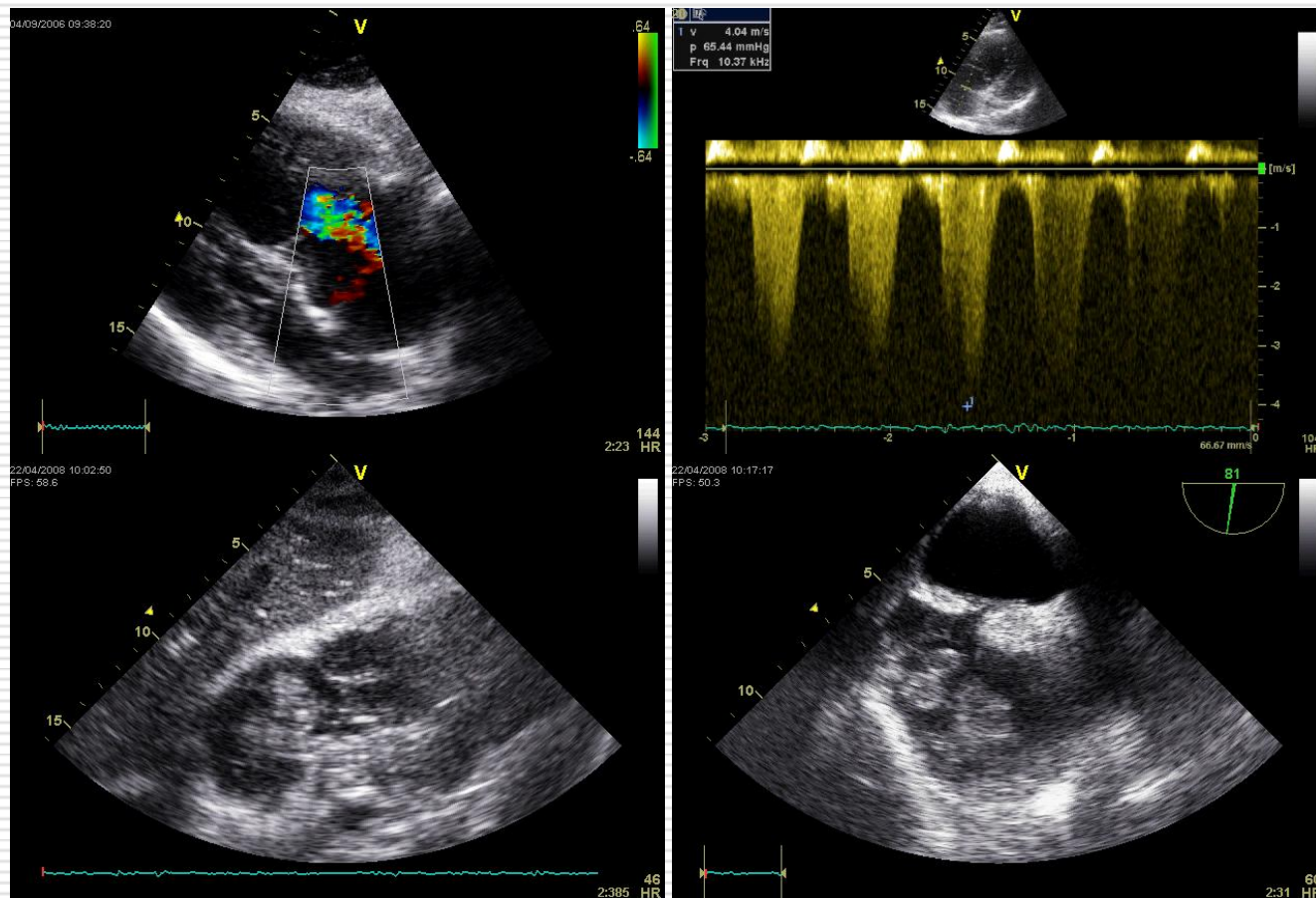




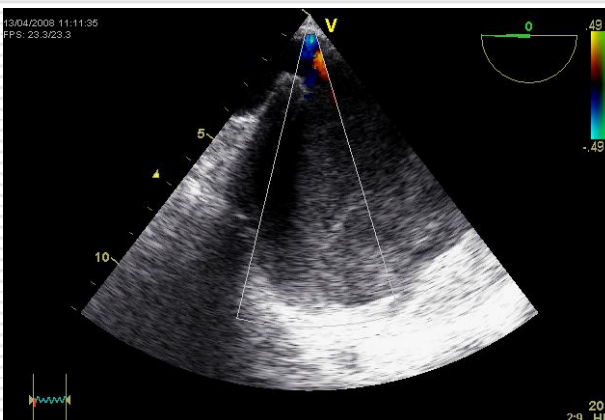
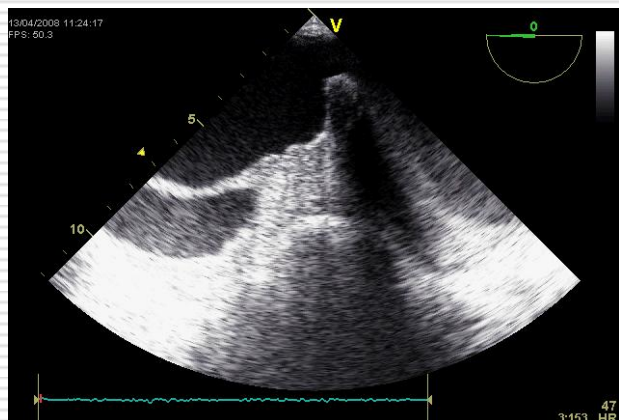
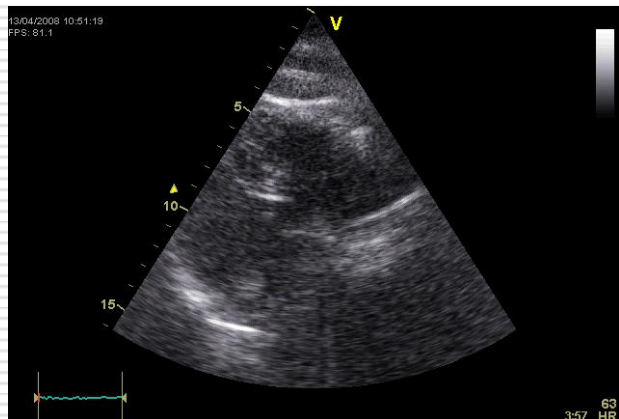
# Ruptura komorového septa



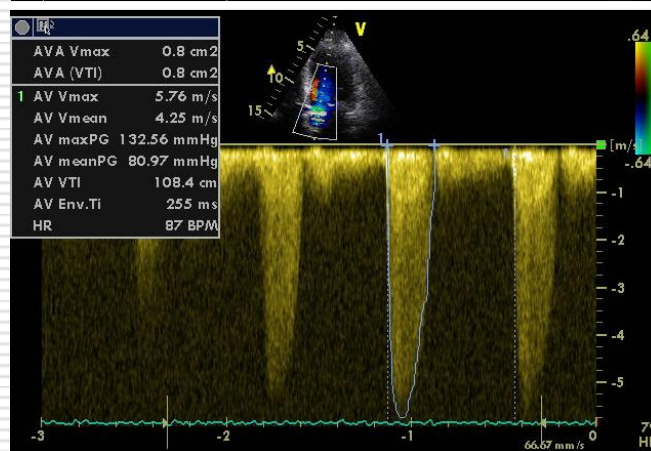
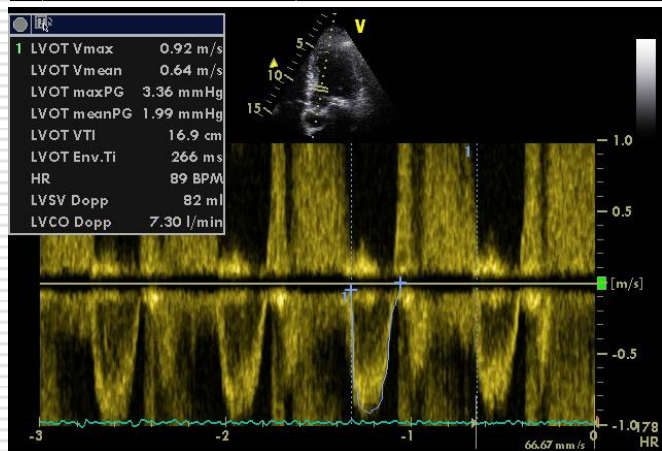
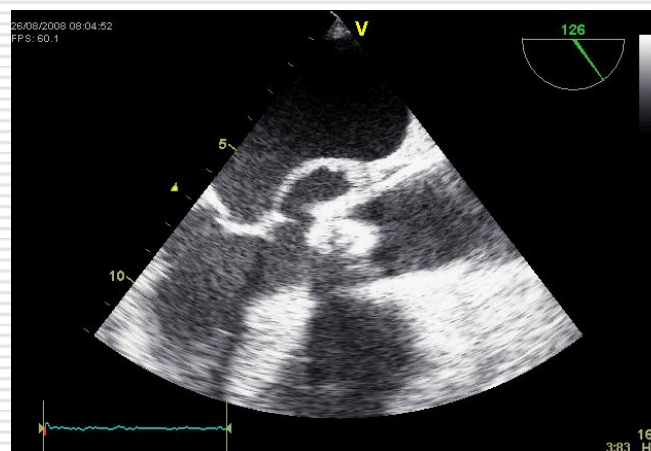
# Obstrukční šok (masivní plicní embolie)



# Hypovolemický šok (ruptura aneuryzmatu aorty)



# Septický šok (infekční endokarditida)



62-letý muž RLP přivezen pro srdeční selhání

TTE s nálezem těžké aortální stenózy, pro rozvoj teplot, laboratorního obrazu sepse a postupně vznikajícího septického šoku (nadnormální srdeční výdej) doplněno TEE s nálezem velkého paravalvulárního abscesu

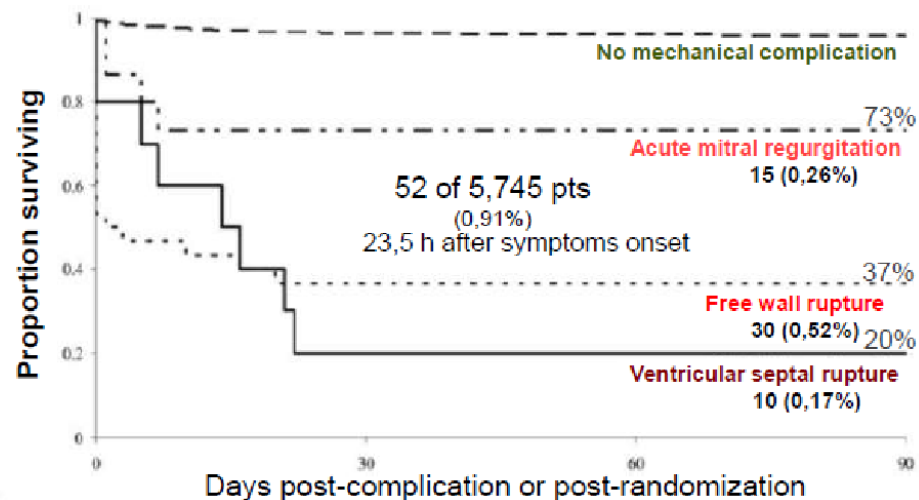
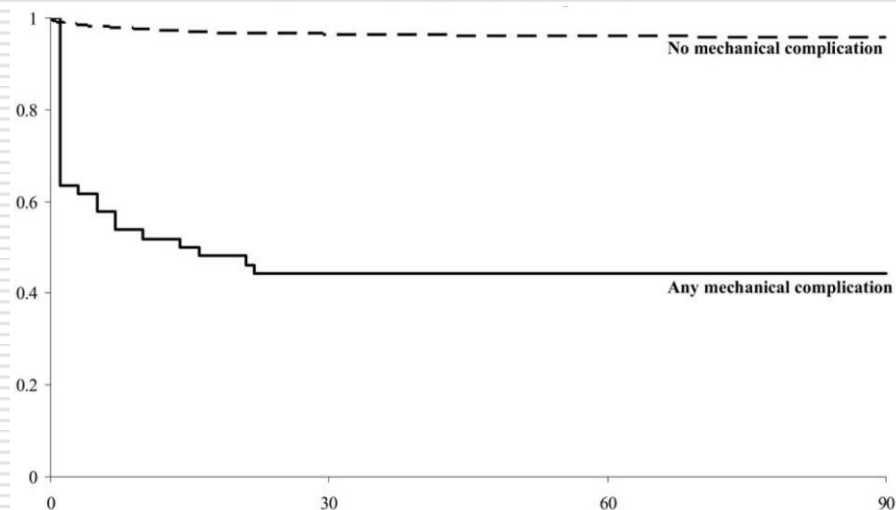
Indikace k akutní náhradě aortální chlopně, v pooperačním období rozvoj refrakterního septického šoku

---

# PROGNÓZA

# Prognóza STEMI s mechanickou komplikací

	No Mechanical Complications (n = 5,693)	Cardiac FWR (n = 30)	Acute MR (n = 15)	VSR (n = 10)
Primary angioplasty	5,331 (94%)	25 (83%)	12 (80%)	8 (80%)
In-hospital survival	5,545 (97%)	13* (43%)	11* (73%)	6* (60%)
Further procedure	691 (12%)	13* (43%)	7* (47%)	5* (50%)
30-d survival	5,491 (96%)	11* (37%)	11* (73%)	2* (20%)
90-d survival	5,438 (96%)	11* (37%)	11* (73%)	2* (20%)
Patients with cardiogenic shock/heart failure	427	8	11	6
30-d survival	324 (76%)	5 (63%)	7 (64%)	1* (17%)
90-d survival	305 (71%)	5 (63%)	7 (64%)	1* (17%)



**Dg.:** STEMI 29%/NSTEMI 49%/NAP 22%

**TTE:** 1.-12. hod. od přijetí

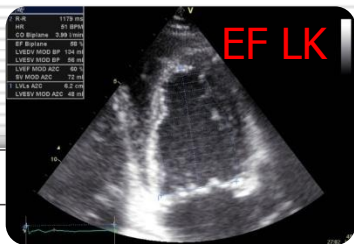
**Parametry:** EF LK, TAPSE, ULC

**EP:** MCE

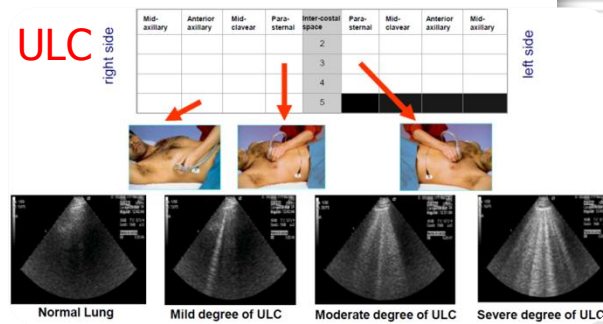
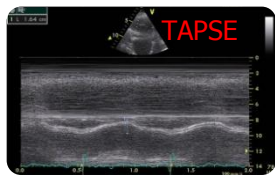
**FU:** medián 5 měsíců

## Comparison of Prognostic Value of Echocardiographic Risk Score With the Thrombolysis In Myocardial Infarction (TIMI) and Global Registry In Acute Coronary Events (GRACE) Risk Scores in Acute Coronary Syndrome

Gigliola Bedetti, MD<sup>a,\*</sup>, Luna Gargani, MD<sup>b</sup>, Rosa Sicari, MD, PhD<sup>b</sup>,  
 Maria Luisa Gianfaldoni, MD<sup>c</sup>, Sabrina Molinaro, BSc<sup>b</sup>, and Eugenio Picano, MD, PhD<sup>b</sup>



Variable	HR (95% CI)	p Value	HR (95% CI)	p Value
Ejection fraction	1.86 (1.58–2.19)	<0.0001	1.45 (1.02–2.08)	0.040
Wall motion score index	1.75 (1.39–2.20)	<0.0001		
Mitral annular plane systolic excursion	2.09 (1.60–2.73)	<0.0001		
Left ventricular end-diastolic diameter	1.14 (0.88–1.49)	0.312		
Left ventricular end-systolic diameter	1.36 (1.13–1.65)	0.001		
Left ventricular end-diastolic diameter/body surface area	1.26 (1.00–1.58)	0.048		
Left ventricular end-diastolic volume	1.22 (1.02–1.47)	0.033		
Left ventricular end-systolic volume	1.33 (1.15–1.54)	<0.0001		
Left atrium	1.37 (1.14–1.65)	0.001		
Mitral regurgitation	1.96 (1.59–2.41)	<0.0001		
Left ventricular mass index	1.40 (1.19–1.66)	<0.0001		
Diastolic dysfunction	2.03 (1.65–2.50)	<0.0001		
Tricuspid annular plane systolic excursion	2.54 (2.01–3.22)	<0.0001		
Right ventricular end-diastolic diameter	1.37 (0.96–1.95)	0.085		
Pulmonary artery systolic pressure	1.60 (1.30–1.96)	<0.0001		
Ultrasound lung comets	1.97 (1.66–2.33)	<0.0001	1.66 (1.13–2.45)	0.010
			1.69 (1.25–2.27)	0.001



**Dg.:** STEMI 29%/NSTEMI 49%/NAP 22%

**TTE:** 1.-12. hod. od přijetí

**Parametry:** EF LK, TAPSE, ULC

**EP:** MCE

**FU:** medián 5 měsíců

## Comparison of Prognostic Value of Echocardiographic Risk Score With the Thrombolysis In Myocardial Infarction (TIMI) and Global Registry In Acute Coronary Events (GRACE) Risk Scores in Acute Coronary Syndrome

Gigliola Bedetti, MD<sup>a,\*</sup>, Luna Gargani, MD<sup>b</sup>, Rosa Sicari, MD, PhD<sup>b</sup>,  
Maria Luisa Gianfaldoni, MD<sup>c</sup>, Sabrina Molinaro, BSc<sup>b</sup>, and Eugenio Picano, MD, PhD<sup>b</sup>



### Univariační a multivariační analýza rizikových prediktorů

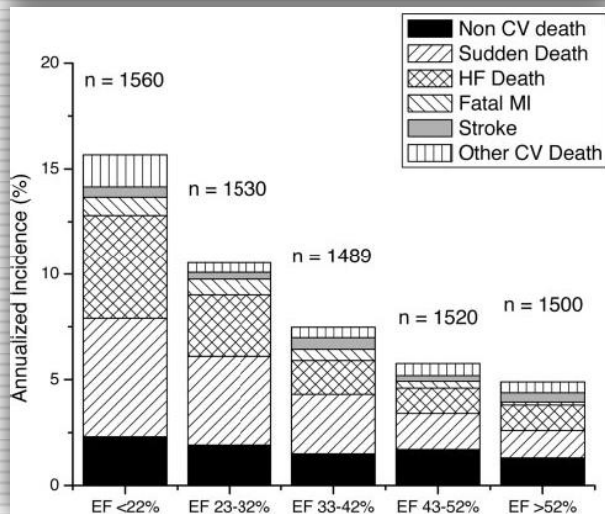
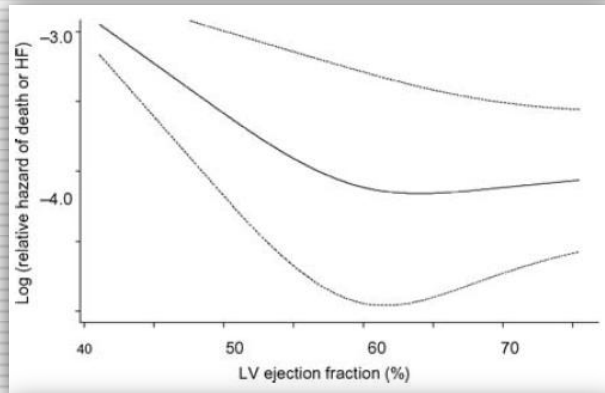
Variable	HR (95% CI)	p Value	HR (95% CI)	p Value
Men*	0.8 (0.5–1.2)	0.214		
New York Heart Association class on admission <sup>†</sup>	1.7 (1.4–1.9)	<0.0001		
Canadian Cardiovascular Society angina class in previous 6 weeks <sup>‡</sup>	0.964 (0.853–1.1)	0.558		
Previous heart failure*	1.78 (0.9–3.5)	0.099		
Peripheral arterial disease*	1.0 (0.57–1.76)	0.992		
Hemoglobin (g/dl) <sup>†</sup>	0.8 (0.7–0.8)	<0.0001	0.87 (0.79–0.95)	0.003
Glucose (mg/dl) <sup>†</sup>	1.0 (1.0–1.0)	<0.0001		
Global Registry in Acute Coronary Events <sup>‡</sup>	2.84 (1.97–4.09)	<0.0001	1.59 (1.07–2.36)	0.023
Thrombolysis In Myocardial Infarction <sup>‡</sup>	1.99 (1.54–2.59)	<0.0001		
Echocardiographic score <sup>‡</sup>	3.15 (2.45–4.04)	<0.0001	2.55 (1.91–3.40)	<0.0001





Results of the Predictors of Response to CRT (PROSPECT) Trial  
Eugene S. Chung, Angel R. Leon, Luigi Tavazzi, Jing-Ping Sun, Petros Nihoyannopoulos, John Merlino, William T. Abraham, Stefano Ghio, Christophe Leclercq, Jeroen J. Bax, Cheuk-Man Yu, John Goresan, III, Martin St John Sutton, Johan De Sutter and Jaime Murillo  
Circulation 2008;117:2608-2616; originally published online May 5, 2008;

## 2D parametry ?



### PROSPECT závěry:

1. Interindividuální **variabilita měření ESV** (CV 14.5%) a **EF LK** (průměrná EF LK  $23.6 \pm 7\%$ , corlab  $29.3 \pm 10\%$ )
2. 20% zařazených pacientů mělo **EF LK > 35%**
3. 1/3 vyšetření neadekvátní **kvalita zobrazení** pro měření ESV
4. Žádná **QC** z centrální laboratoře
5. 3 typy **přístrojů**: 37% GE, 50% Philips, 12% Siemens
6. 40%: staré přístroje

Nicolosi JL. Et al. Effects of perindopril on cardiac remodelling and prognostic value of pre-discharge quantitative echocardiographic parameters in elderly patients after acute myocardial infarction: the PREAMI echo sub-study European Heart Journal (2009) 30, 1656–1665

Solomon SD et al. Influence of Ejection Fraction on Cardiovascular Outcomes in a Broad Spectrum of Heart Failure Patients Circ 2005; 112; 3738-44

Chung, E. S. et al. Circulation 2008;117:2608-2616

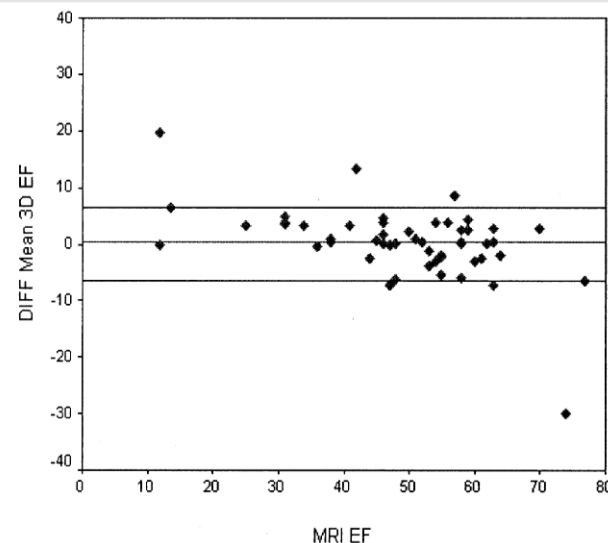
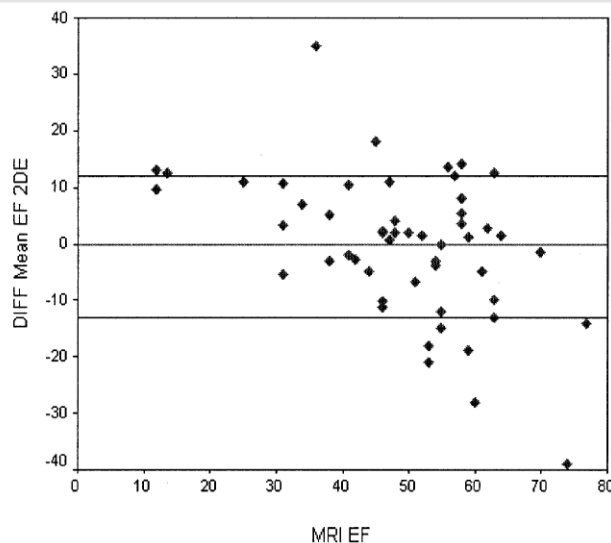
# RT-3D EF LK

## Reproducibility and Accuracy of Echocardiographic Measurements of Left Ventricular Parameters Using Real-Time Three-Dimensional Echocardiography

Carly Jenkins, BS, Kristen Bricknell, BS, Lizelle Hanekom, MD, Thomas H. Marwick, MD, PhD, FACC

**Table 5.** Mean Difference Between Echocardiographic and MRI Measurements (n = 50)

	RT-3DE		2DE		Difference in Variance Between MRI and RT-3DE or 2DE	
	Mean ± SD	p	Mean ± SD	p	F	p
End-diastolic volume (172 ± 53 ml)	-4 ± 29	p = 0.31	-54 ± 33	p < 0.01	F = 1.31	p = 0.17
End-diastolic volume (91 ± 53 ml)	-3 ± 18	p = 0.23	-28 ± 28	p < 0.01	F = 2.38	p = 0.001
Ejection fraction (50 ± 14%)	0 ± 7	p = 0.74	-1 ± 13	p = 0.76	F = 3.82	p < 0.0001
LV mass (183 ± 50 g)	0 ± 38	p = 0.94	16 ± 57	p = 0.04	F = 2.25	p < 0.003





# Dg.: 1. NSTE-ACS

**TTE:** během hospitalizace pro ACS

**Parametry:** MiR

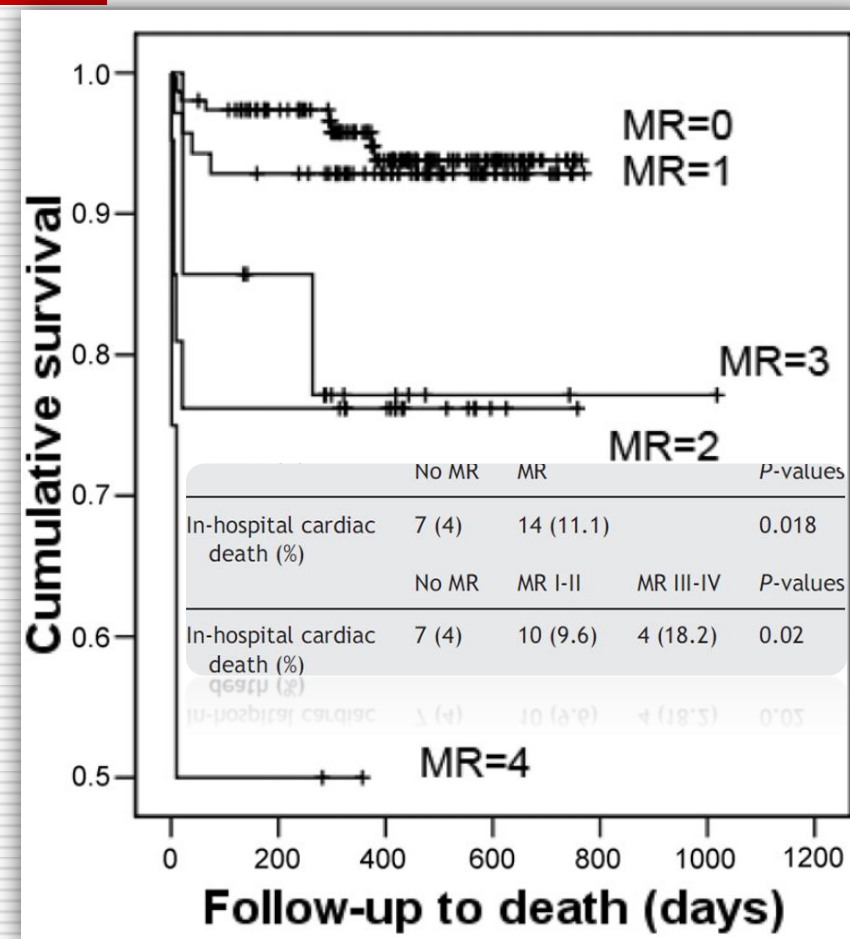
**EP:** mortalita

**FU:** průměr 14±6 m

## Prognostic significance of functional mitral regurgitation after a first non-ST-segment elevation acute coronary syndrome

Leopoldo Perez de Isla, Jose Zamorano\*, Maribel Quezada, Carlos Almería, José Luis Rodrigo, Viviana Serra, Juan Carlos García Rubira, Antonio Fernandez Ortiz, and Carlos Macaya

	No MR	MR	P-values
n(%)	174 (58)	126 (42)	
Mean age (years)	63.9 ± 14	71.3 ± 11	<0.001
Male, n (%)	127 (73)	88 (70)	0.6
Hypertension, n (%)	107 (61.5)	91 (72.2)	0.06
DM, n (%)	42 (24.1)	49 (38.9)	0.006
DM on insulin treatment, n (%)	18 (10.3)	17 (13.5)	0.4
Dyslipidaemia, n (%)	63 (36.2)	49 (38.9)	0.6
Smoking, n (%)	100 (57.5)	61 (48.4)	0.1
AF, n (%)	35 (20.1)	29 (23)	0.54
Renal insufficiency, n (%)	12 (7)	23 (18.3)	0.002
Previous diagnosis of CAD (%)	22 (12.6)	22 (17.5)	0.2
Previous coronary revascularization (%)	23 (13.2)	26 (20.6)	0.09
Non-permanent ST-segment elevation during acute phase (%)	39 (22.4)	24 (19)	0.5
Q-wave development during or immediately after acute phase (%)	19 (11)	17 (13.5)	0.5
Myocardial markers			
Peak CK	582.2 ± 659	691.4 ± 772	0.24
Peak troponin I	16.2 ± 23	20 ± 24	0.18



De Isla LP et al. Prognostic significance of functional mitral regurgitation after a first non-ST-segment elevation acute coronary syndrome. European Heart Journal (2006) 27, 2655–2660

**Dg.:** AIM bez AF

**TTE:** hospitalizace

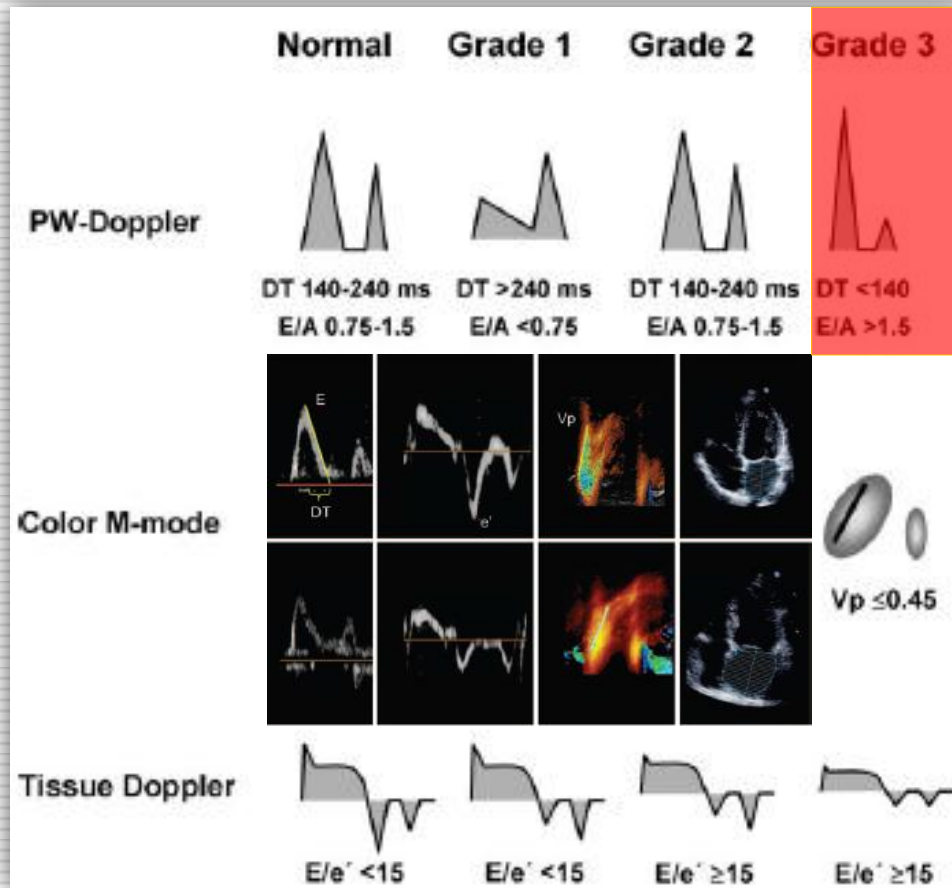
**Parametry:** restriktivní plnění LK

**EP:** mortalita

**FU:** ?

## Independent Prognostic Importance of a Restrictive Left Ventricular Filling Pattern After Myocardial Infarction An Individual Patient Meta-Analysis: Meta-Analysis Research Group in Echocardiography Acute Myocardial Infarction

Meta-Analysis Research Group in Echocardiography (MeRGE) AMI Collaborators\*



Characteristic	Nonrestrictive (n=2726)	Restrictive (n=670)	P
Age, y	64.2 (12.0)	63.2 (13.3)	0.09
Risk factors, n (%)			
Male gender	2010 (74)	502 (75)	0.51
Current smoker (n=1574)	609 (47)	134 (50)	0.26
Hypertension (n=2177)	610 (34)	147 (36)	0.43
Diabetes (n=1946)	265 (17)	84 (24)	0.002
Prior AMI (n=2384)	313 (16)	84 (20)	0.06
Hyperlipidemia (n=1299)	179 (17)	50 (22)	0.04
Anterior AMI (n=2442)	938 (47)	275 (62)	<0.0001
Killip class (n=1746), %			
I	984 (70)	133 (39)	
II	326 (23)	124 (37)	<0.0001
III/IV	99 (7)	80 (24)	
LV ejection fraction, %	47 (10)	40 (11)	<0.0001
LV ESVi (n=1575), mL/m <sup>2</sup>	35 (15)	46 (19)	<0.0001
LV end-diastolic volume index (n=1575), mL/m <sup>2</sup>	66 (21)	76 (24)	<0.0001
E deceleration time, ms	203 (52)	120 (16)	<0.0001
E/A ratio (n=3311)	1.03 (0.44)	1.71 (0.95)	<0.0001
Length of follow-up, median, d	1060	1072	...
Deaths, n (%)	307 (11.3)	192 (28.7)	<0.0001

Meta-Analysis Research Group in Echocardiography (MeRGE) AMI Collaborators. Independent Prognostic Importance of a Restrictive Left Ventricular Filling Pattern After Myocardial Infarction An Individual Patient Meta-Analysis: Meta-Analysis Research Group in Echocardiography Acute Myocardial Infarction. Circulation. 2008;117:2591-2598

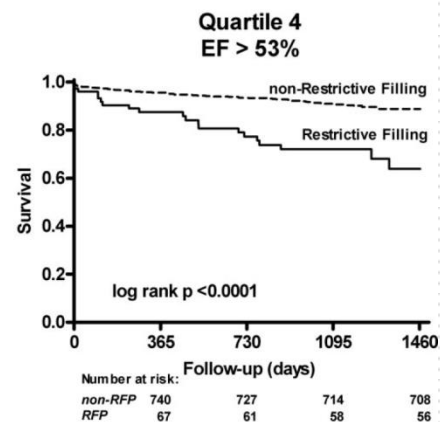
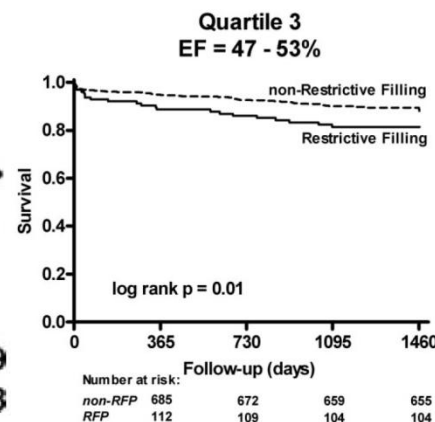
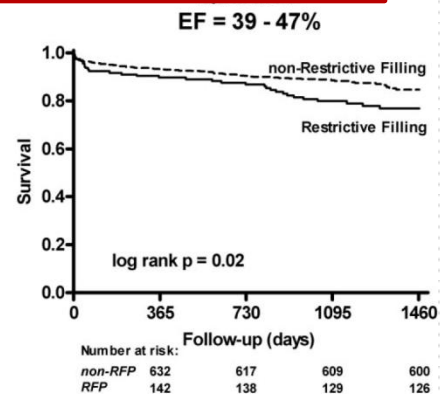
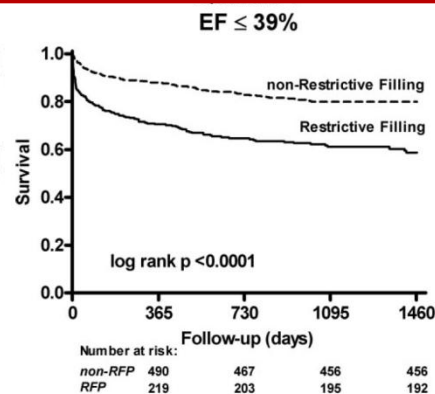
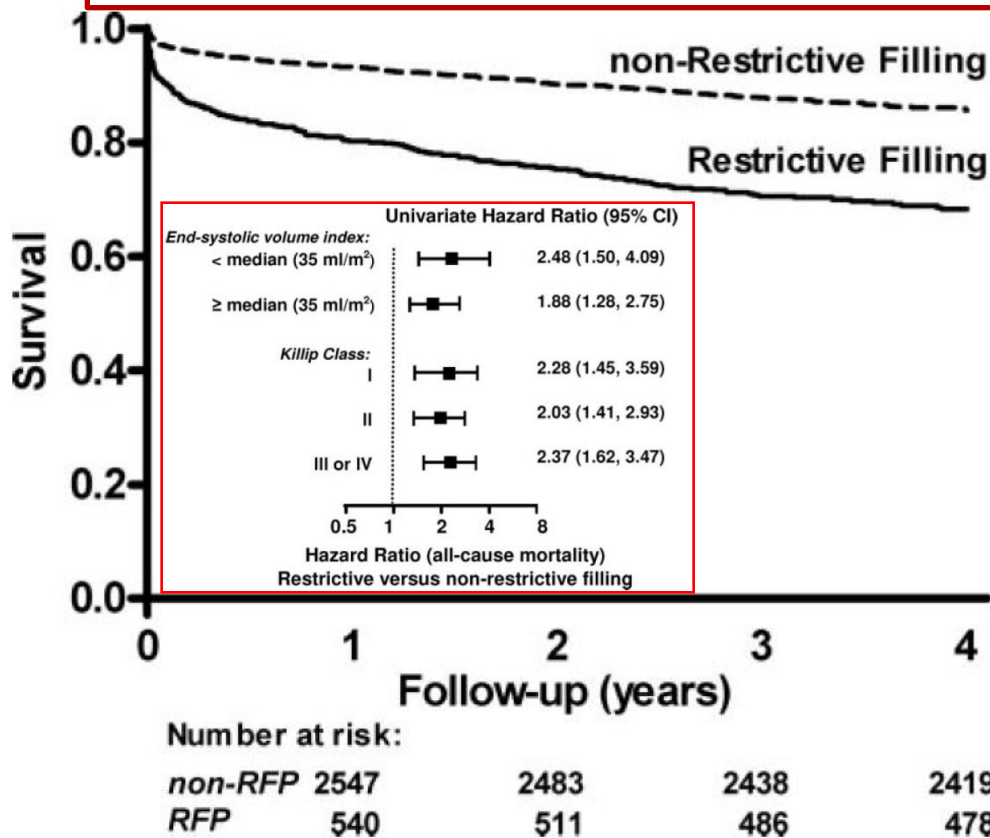
Moeller JE et al. Prognostic Importance of Diastolic Function and Filling Pressure in Patients With Acute MI. Circulation 2006;114:438-444

**Dg.:** AIM bez AF  
**TTE:** hospitalizace  
**Parametry:** restriktivní plnění LK  
**EP:** mortalita  
**FU:** ?

## Independent Prognostic Importance of a Restrictive Left Ventricular Filling Pattern After Myocardial Infarction An Individual Patient Meta-Analysis: Meta-Analysis Research Group in Echocardiography Acute Myocardial Infarction

Meta-Analysis Research Group in Echocardiography (MeRGE) AMI Collaborators\*

Restriktivní plnění LK u pacientů po AIM je nezávislý prognostický parametr bez ohledu na EF, volumy LK a klinické známky srdečního selhání.



**Dg.:** neselektovaná populace AIM

**TTE:** medián 1d od IM

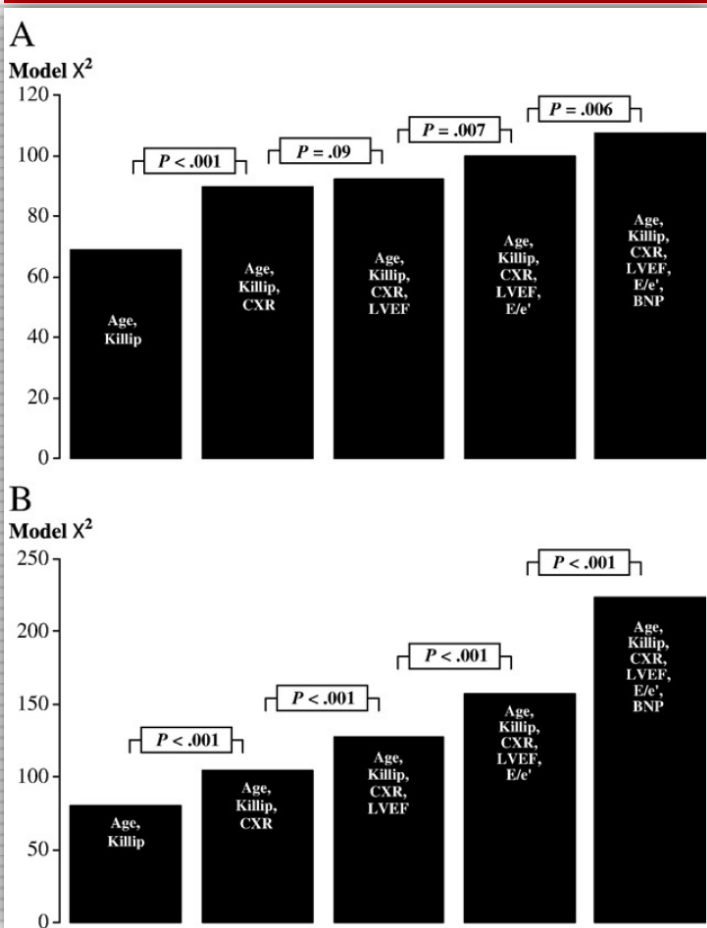
**Parametry:** E/Em + ...

**EP:** mortalita, reIM, HF

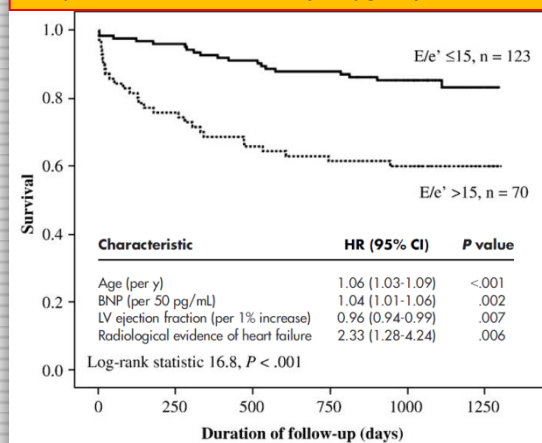
**FU:** medián 2,9r

## Noninvasive assessment of left ventricular filling pressure after acute myocardial infarction: A prospective study of the relative prognostic utility of clinical assessment, echocardiography, and B-type natriuretic peptide

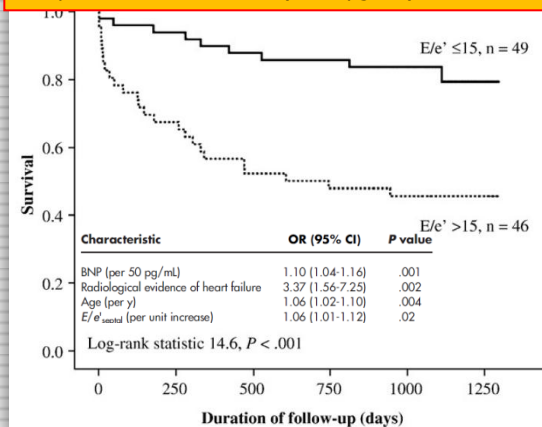
Kirsten Kruszewski, MBChB,<sup>a</sup> Anne E. Scott, MBChB,<sup>a</sup> Justin L. Barclay, MBChB,<sup>a</sup> Gary R. Small, MBChB, PhD,<sup>a</sup> Bernard L. Croal, MBChB, MD,<sup>b</sup> Jacob E. Möller, MD, DMSc,<sup>c</sup> Jae K. Oh, MD,<sup>d</sup> and Graham S. Hillis, MBChB, PhD<sup>a</sup> *Aberdeen, United Kingdom; Copenhagen, Denmark; and Rochester, MN*



### NT-proBNP nad mediánem (151 pg/mL)



### NT-proBNP ve 4. kvartilu (>286 pg/mL)



Kruszewski K. et al. Noninvasive assessment of left ventricular filling pressure after acute myocardial infarction: A prospective study of the relative prognostic utility of clinical assessment, echocardiography, and B-type natriuretic peptide. *Am Heart J* 2010;159:47-54.

**Dg.:** AIM

**TTE:** do 2d od AIM/PCI

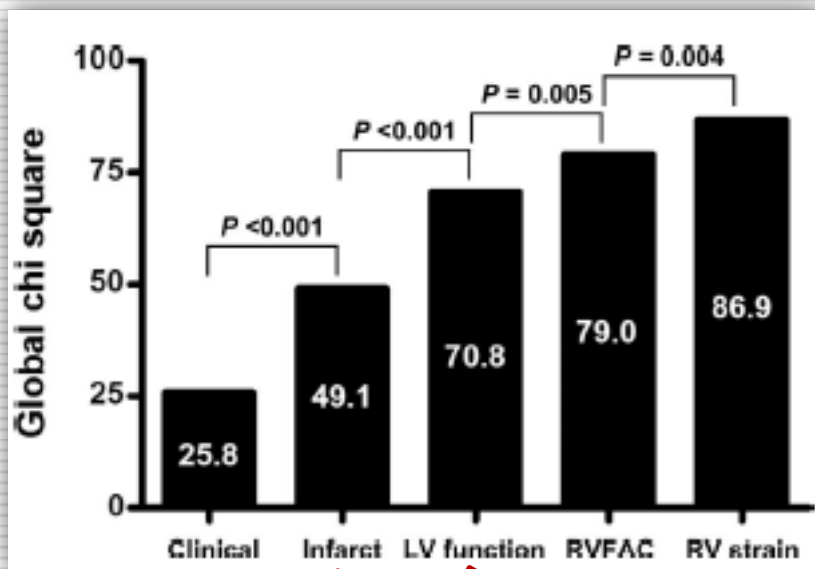
**Parametry:** RVFAC, TAPSE, RV strain

**EP:** mortalita a rehospitalizace pro HF

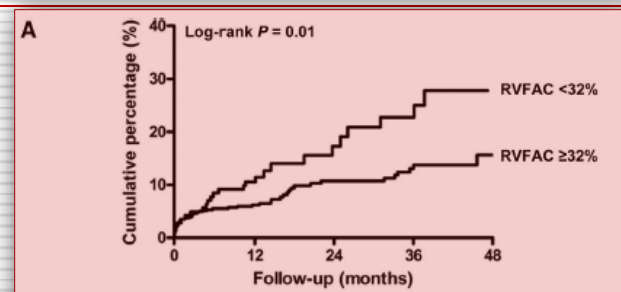
**FU:** 24mc

## Prognostic Value of Right Ventricular Function in Patients After Acute Myocardial Infarction Treated With Primary Percutaneous Coronary Intervention

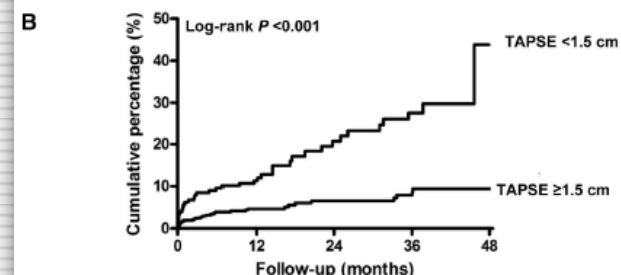
M. Louisa Antoni, MD; Roderick W.C. Scherptong, MD; Jael Z. Atary, MD; Eric Boersma, PhD; Eduard R. Holman, MD, PhD; Ernst E. van der Wall, MD, PhD; Martin J. Schalij, MD, PhD; Jeroen J. Bax, MD, PhD



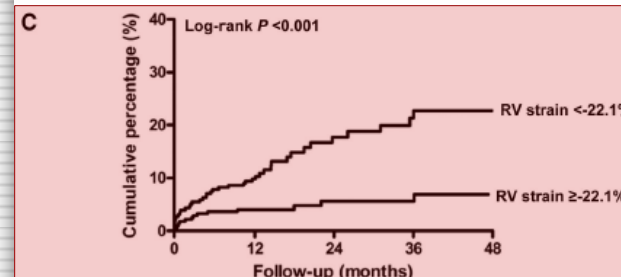
Věk, Killip  $\geq 2$   
ACD culprit, MVD, cTnT  
EF, WMSI, E/Em, MR  $\geq +2$



Patients at risk 599 498 236 163 32



Patients at risk 591 494 235 163 31



Patients at risk 529 441 194 129 15

Antoni ML. et al. Prognostic Value of Right Ventricular Function in Patients After Acute Myocardial Infarction Treated With Primary Percutaneous Coronary Intervention. *Circ Cardiovasc Imaging*. 2010;3:264-271.)

# Akutní koronární syndromy

## Příznivá prognóza Špatná prognóza

EF LK > 50%

ULC < 5

Bez mitrální regurgitace

Normální typ plnění LK

E/Em < 15

Bez fibrilace síní

RVFAC > 32%

RV globální long. S < -22,1%

TAPSE > 20 mm

Mechanická komplikace IM

EF LK < 30%

WMSI > 1,5

ULC > 30

CSI > 1,68

Mitrální regurgitace > III, IV

Restriktivní typ plnění LK, E/Em > 15

Fibrilace síní

Long. glob. S STE > -15,1

Long. glob. SR STE > -1,06

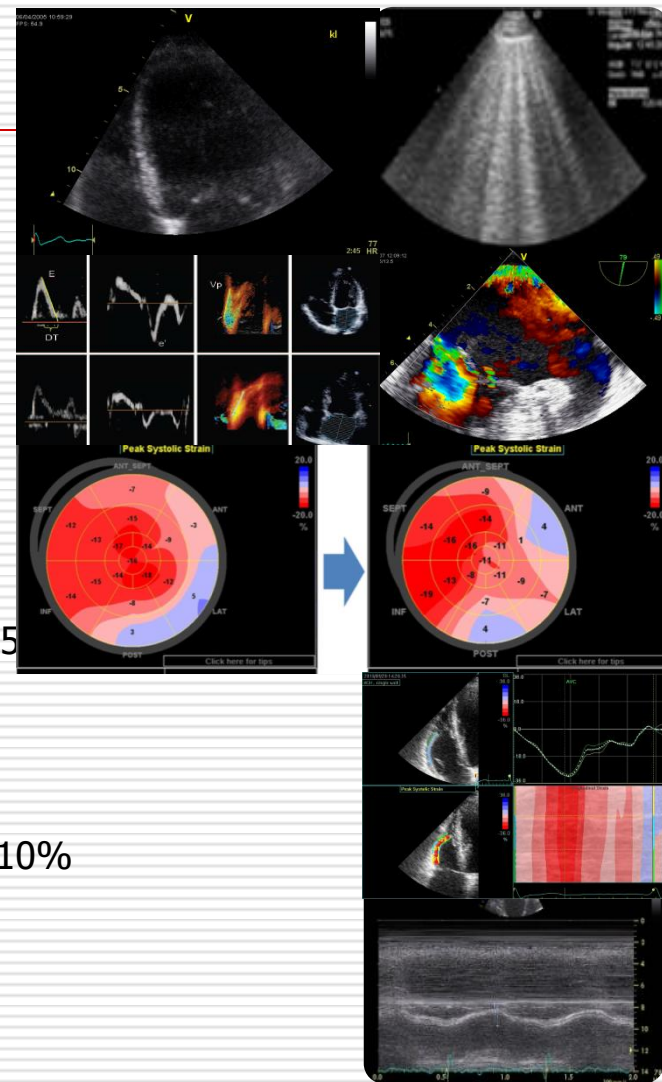
↓ long. glob. S STE 3. den hosp. > 10%

RVFAC < 32%

RV globální long. S > -22,1%

TAPSE < 10 mm

Mechanická asynchronie LK VVI



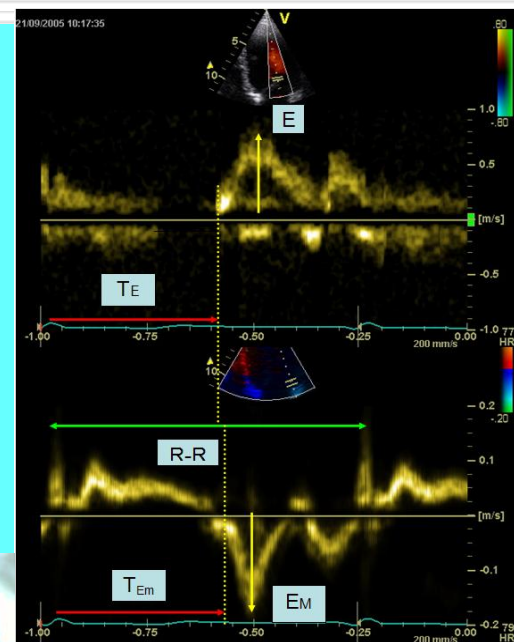


---

# PODPORA TERAPIE

# TTE/TEE – neinvazivní hemodynamický monitor

- Hemodynamická monitorace pomocí Swan-Ganzova katetru není spojena se zlepšením prognózy. Invazivní vyšetření – komplikace.
- Náhrada rutinně prováděné pravostranné srdeční katetrizace – (PiCCO, LiDCO) nebo **neinvazivní echokardiografické přístupy**.
- Poměr E/Em – přesný prediktor PCWP (korelace s PCWP  $r=0,833$ ;  $p \leq 0,0001$ ).
- Cut-off hodnota  $E/Em > 14$  v predikci  $PCWP > 15$  mmHg – senzitivita 93,3%, specificita 90,9%, pozitivní prediktivní hodnota 93%, negativní prediktivní hodnota 90,9%.\*



Maximální gradient regurgitace na pulmonální chlopi (PR) predikuje střední tlak v plicnici (**MAP**) .  
 Endiastolický gradient pulmonální regurgitace predikuje diastolický tlak v plicnici (**DAP**) .

Dolní dutá žíla (**IVC**) , její rozměr a stupeň inspiračního kolapsu predikují tlak v pravé síni (**RAP resp. CVT**):  
 IVC <1.2 cm a kolaps 100% = RAP 0 mmHg

IVC 1.2-1.7 cm s >50% kolapsem = RAP 0-5 mmHg

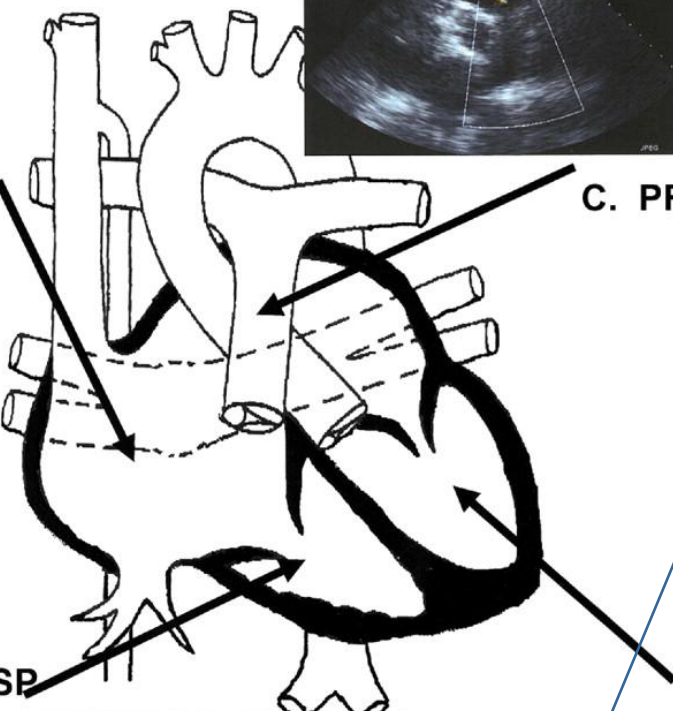
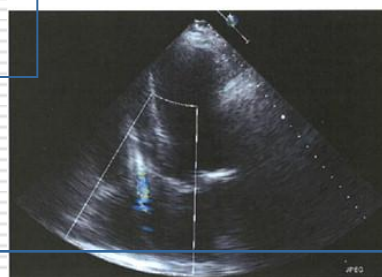
IVC >1.7 cm s >50% kolapsem = RAP 6-10 mmHg; <50% kolapsem = RAP 10-15 mmHg

IVC >1.7 cm s 0% kolapsem = RAP >15 mmHg

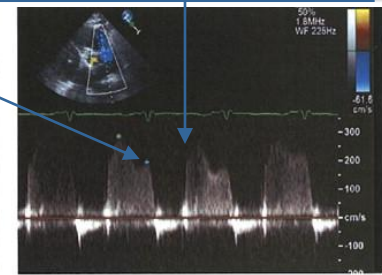
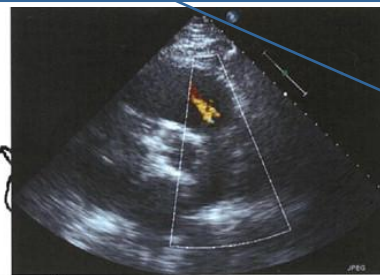
Vrcholová systolická rychlost jetu trikuspidální regurgitace (**TR**) predikuje systolický tlak v plicnici (**SAP**):



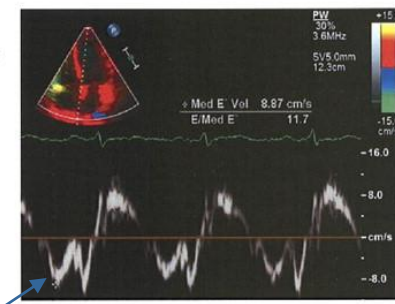
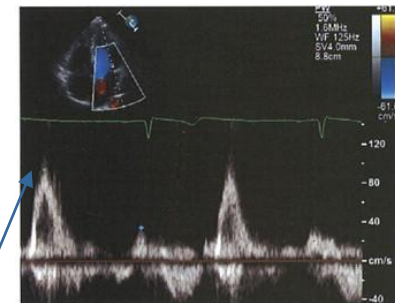
**A. IVCCI--RAP**



**B. TR Vel.--RVSP**



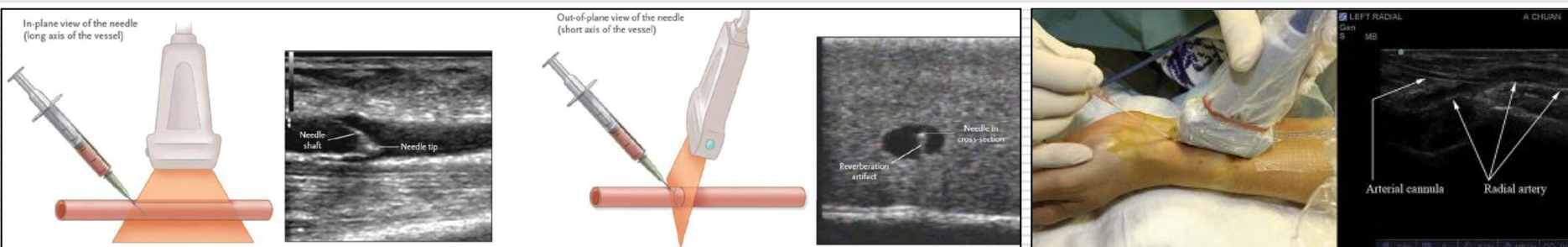
**C. PR Vel.--PAPm, PAPd**



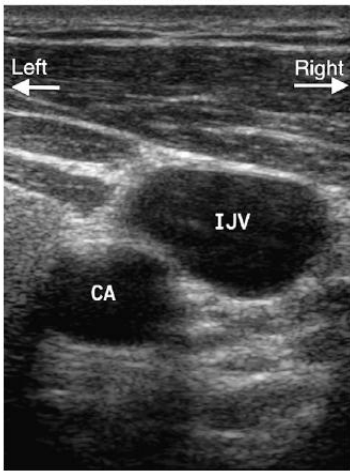
**D. E/E'--PCWP**

Poměr vrcholové systolické rychlosti časného mitrálního toku (E)/časná diastolická rychlost mitrálního toku (**E/Em**) <8 nebo >15 přesně predikuje **PCWP** <15 mmHg resp. >15 mm Hg.

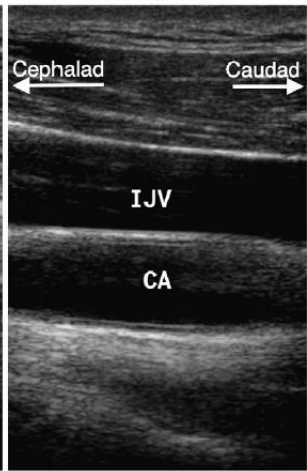
# Podpora kanylačních výkonů



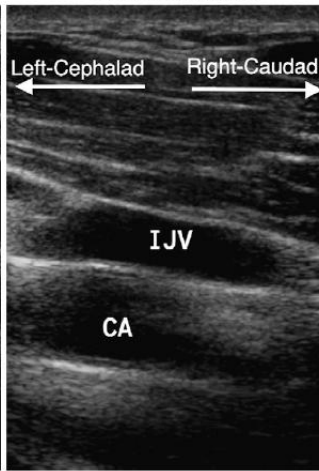
A: short axis



B: long axis



C: oblique axis



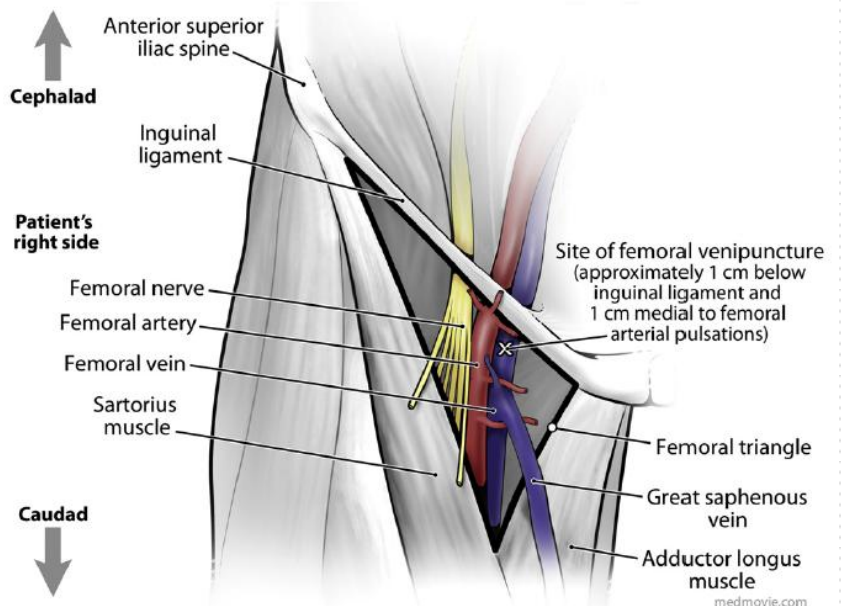
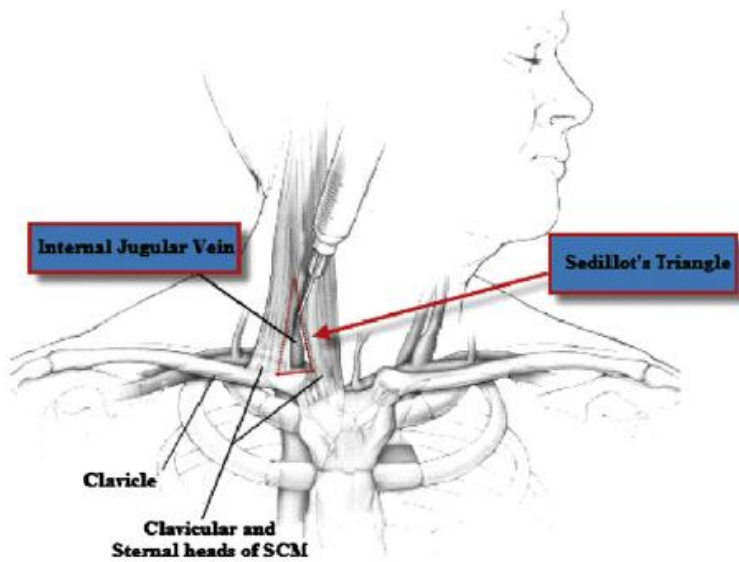
## GUIDELINES AND STANDARDS

# Guidelines for Performing Ultrasound Guided Vascular Cannulation: Recommendations of the American Society of Echocardiography and the Society of Cardiovascular Anesthesiologists

Christopher A. Troianos, MD, Gregg S. Hartman, MD, Kathryn E. Glas, MD, MBA, FASE, Nikolaos J. Skubas, MD, FASE, Robert T. Eberhardt, MD, Jennifer D. Walker, MD, and Scott T. Reeves, MD, MBA, FASE, for the Councils on Intraoperative Echocardiography and Vascular Ultrasound of the American Society of Echocardiography, *Pittsburgh, Pennsylvania; Lebanon, New Hampshire; Atlanta, Georgia; New York, New York; Boston, Massachusetts; and Charleston, South Carolina*

(J Am Soc Echocardiogr 2011;24:1291-318.)

**Keywords:** Anatomy, Artery, Cannulation, Femoral, Guidelines, Internal jugular, Pediatric, Peripheral, Subclavian, Ultrasound, Vascular, Venous

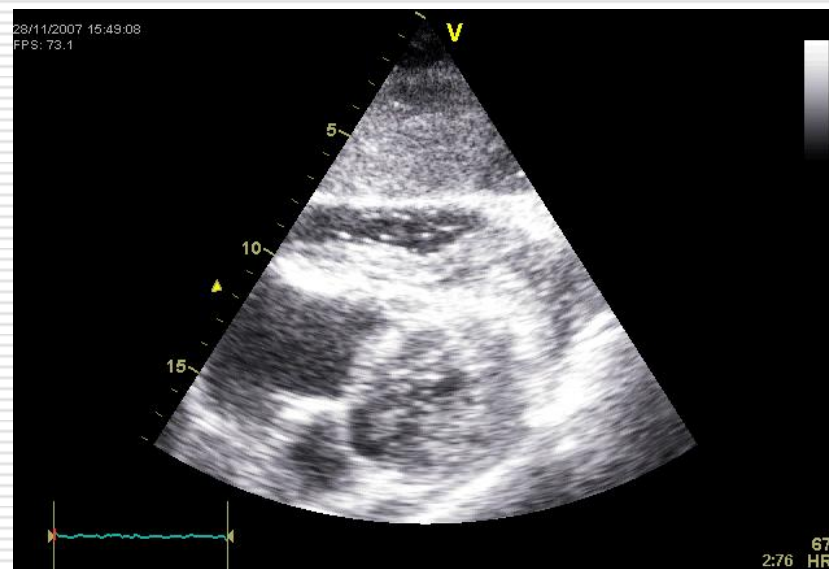
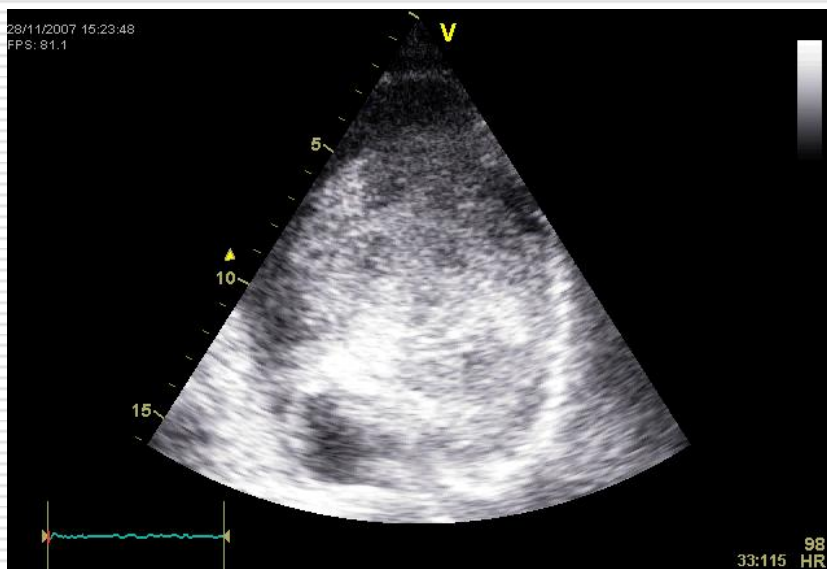


# UpToDate 10/2017

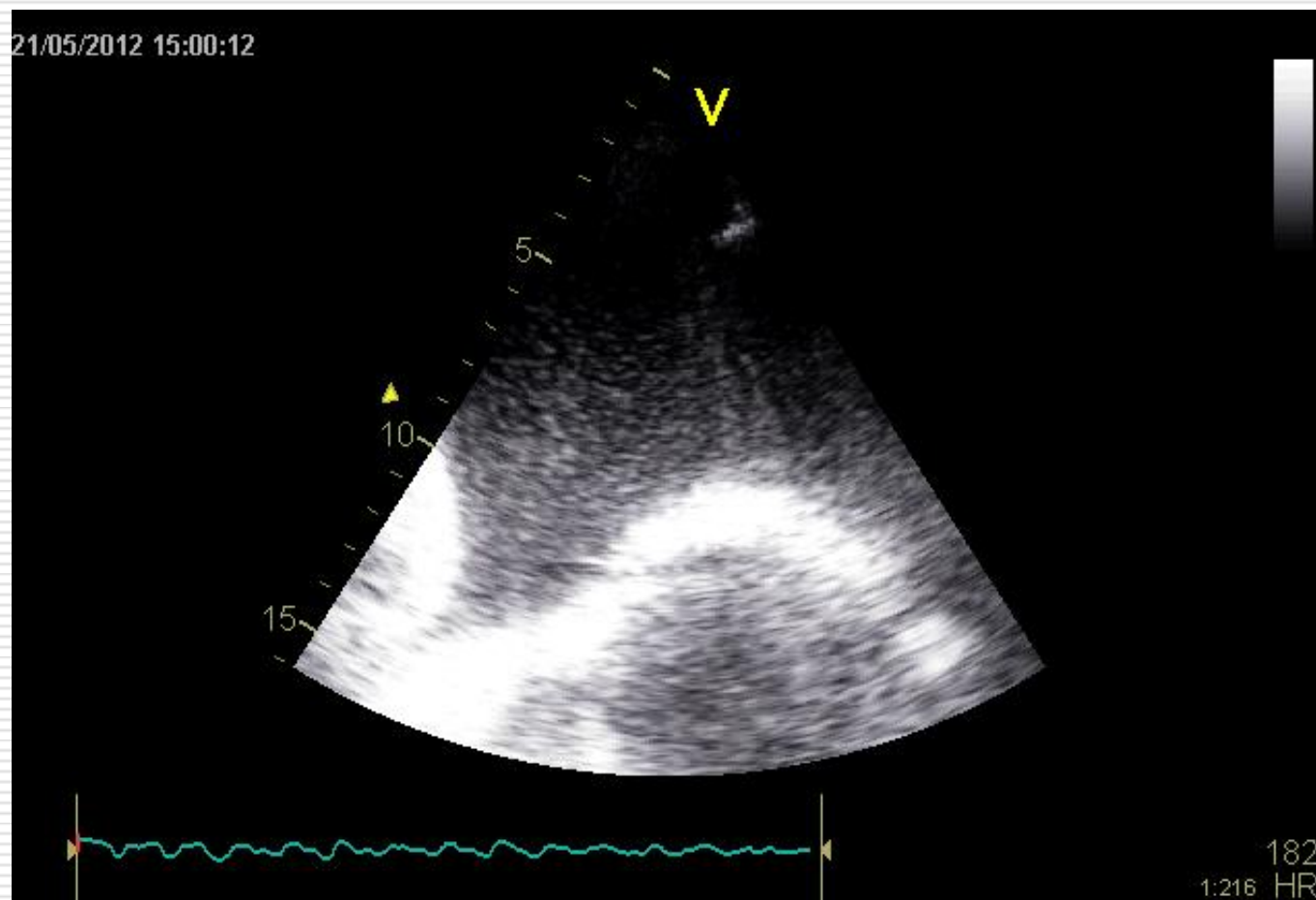
1. Troiano CA, Hartman GS, Glas KE, et al. Special articles: guidelines for performing ultrasound-guided vascular cannulation: recommendations of the American Society of Echocardiography and the Society Of Cardiovascular Anesthesiologists. *Anesth Analg* 2012; 114:46.
2. Levy JA, Noble VF. Bedside ultrasound in pediatric emergency medicine. *Pediatrics* 2008; 121:e1404.
3. Lalu MM, Fayad A, Ahmed O, et al. Ultrasound-Guided Subclavian Vein Catheterization: A Systematic Review and Meta-Analysis. *Crit Care Med* 2015; 43:1498.
4. Byon HJ, Lee GW, Lee JH, et al. Comparison between ultrasound-guided supraclavicular and infraclavicular approaches for subclavian venous catheterization in children—a randomized trial. *Br J Anaesth* 2013; 111:788.
5. Hind D, Calvert N, McWilliams R, et al. Ultrasonic locating devices for central venous cannulation: meta-analysis. *BMJ* 2003; 327:361.
6. Rabindranath KS, Kumar E, Shall R, Vaux E. Use of real-time ultrasound guidance for the placement of hemodialysis catheters: a systematic review and meta-analysis of randomized controlled trials. *Am J Kidney Dis* 2011; 58:964.
7. Rabindranath KS, Kumar E, Shall R, Vaux EC. Ultrasound use for the placement of haemodialysis catheters. *Cochrane Database Syst Rev* 2011; :CD005279.
8. Sigaut S, Skhiri A, Stany J, et al. Ultrasound-guided internal jugular vein access in children and infant: a meta-analysis of published studies. *Paediatr Anaesth* 2009; 19:1199.
9. Stolz LA, Stolz U, Howe C, et al. Ultrasound-guided peripheral venous access: a meta-analysis and systematic review. *J Vasc Access* 2015; 16:321.
10. Rothschild JM. Ultrasound guidance of central vein catheterization. In: *Making Health Care Safer: A Critical Analysis of Patient Safety Practices. Evidence Report/Technology Assessment, No. 43*. Shojania, KG, Duncan, BW, McDonald, KM, et al (Eds). Agency for Healthcare Research and Quality, Rockville, MD 2001. p.245. <http://www.ahrq.gov/clinic/ptfsafety/chap21.htm> (Accessed on September 26, 2009).
11. Keyes LE, Frazee BW, Sneye FB, et al. Ultrasound-guided brachial and basilic vein cannulation in emergency department patients with difficult intravenous access. *Ann Emerg Med* 1999; 34:711.
12. Doniger SJ, Ishimine P, Fox JC, Kanegaye JT. Randomized controlled trial of ultrasound-guided peripheral intravenous catheter placement versus traditional techniques in difficult-access pediatric patients. *Pediatr Emerg Care* 2009; 25:154.
13. Bruzoni M, Slater BJ, Wall J, et al. A prospective randomized trial of ultrasound- vs landmark-guided central venous access in the pediatric population. *J Am Coll Surg* 2013; 216:939.
14. Mehta N, Valesky WW, Guy A, Sinert R. Systematic review: is real-time ultrasound-guided central line placement by ED physicians more successful than the traditional landmark approach? *Emerg Med J* 2013; 30:355.
15. Shime N, Hosokawa K, MacLaren G. Ultrasound Imaging Reduces Failure Rates of Percutaneous Central Venous Catheterization in Children. *Pediatr Crit Care Med* 2015; 16:718.
16. Sofocleous CT, Schur J, Cooper SG, et al. Sonoographically guided placement of peripherally inserted central venous catheters: review of 355 procedures. *AJR Am J Roentgenol* 1998; 170:1613.
17. Metz RI, Lucking SE, Chaten FC, et al. Percutaneous catheterization of the axillary vein in infants and children. *Pediatrics* 1990; 85:531.
18. Donaldson JS, Morello FP, Junewick JJ, et al. Peripherally inserted central venous catheters: US-guided vascular access in pediatric patients. *Radiology* 1995; 197:542.
19. Calvert N, Hind D, McWilliams RG, et al. The effectiveness and cost-effectiveness of ultrasound locating devices for central venous access: a systematic review and economic evaluation. *Health Technol Assess* 2003; 7:1.
20. Fragou M, Kouraklis G, Dimitriou V, Karakitsos D. Risk factors for acute adverse events during ultrasound-guided central venous cannulation in the emergency department. *Acad Emerg Med* 2011; 18:443.
21. Hilty WM, Hudson PA, Levitt MA, Hall JB. Real-time ultrasound-guided femoral vein catheterization during cardiopulmonary resuscitation. *Ann Emerg Med* 1997; 29:331.
22. Kwon TH, Kim YL, Cho DK. Ultrasound-guided cannulation of the femoral vein for acute haemodialysis access. *Nephrol Dial Transplant* 1997; 12:1009.
23. Aouad MT, Kanazi GE, Abdallah FW, et al. Femoral vein cannulation performed by residents: a comparison between ultrasound-guided and landmark technique in infants and children undergoing cardiac surgery. *Anesth Analg* 2010; 111:724.
24. Griswold-Theodorson S, Farabaugh E, Haldy N, et al. Subclavian central venous catheters and ultrasound guidance: policy vs practice. *J Vasc Access* 2013; 14:104.
25. Abboud PA, Kendall JL. Ultrasound guidance for vascular access. *Emerg Med Clin North Am* 2004; 22:749.
26. Fragou M, Gravvanis A, Dimitriou V, et al. Real-time ultrasound-guided subclavian vein cannulation versus the landmark method in critical care patients: a prospective randomized study. *Crit Care Med* 2011; 39:1607.
27. O'Leary R, Ahmed SM, McLure H, et al. Ultrasound-guided infraclavicular axillary vein cannulation: a useful alternative to the internal jugular vein. *Br J Anaesth* 2012; 109:762.
28. Gualtieri E, Deppe SA, Sipperly ME, Thompson DR. Subclavian venous catheterization: greater success rate for less experienced operators using ultrasound guidance. *Crit Care Med* 1995; 23:692.
29. Pirotte T, Veyckemans F. Ultrasound-guided subclavian vein cannulation in infants and children: a novel approach. *Br J Anaesth* 2007; 98:509.
30. Pittiruti M, Hamilton H, Biffi R, et al. ESPEN Guidelines on Parenteral Nutrition: central venous catheters (access, care, diagnosis and therapy of complications). *Clin Nutr* 2009; 28:365.
31. Costantino TG, Parikh AK, Satz WA, Fojtik JP. Ultrasonography-guided peripheral intravenous access versus traditional approaches in patients with difficult intravenous access. *Ann Emerg Med* 2005; 46:456.
32. Brannam L, Blaivas M, Lyon M, Flake M. Emergency nurses' utilization of ultrasound guidance for placement of peripheral intravenous lines in difficult-access patients. *Acad Emerg Med* 2004; 11:1361.
33. Aponte H, Acosta S, Rigamonti D, et al. The use of ultrasound for placement of intravenous catheters. *AANA J* 2007; 75:212.
34. Kerforne T, Petitpas F, Frasca D, et al. Ultrasound-guided peripheral venous access in severely ill patients with suspected difficult vascular puncture. *Chest* 2012; 141:279.
35. Stein J, George B, River G, et al. Ultrasonographically guided peripheral intravenous cannulation in emergency department patients with difficult intravenous access: a randomized trial. *Ann Emerg Med* 2009; 54:33.
36. Egan G, Healy D, O'Neill H, et al. Ultrasound guidance for difficult peripheral venous access: systematic review and meta-analysis. *Emerg Med J* 2013; 30:521.
37. Heinrichs J, Fritze Z, Vandermeer B, et al. Ultrasonographically guided peripheral intravenous cannulation of children and adults: a systematic review and meta-analysis. *Ann Emerg Med* 2013; 61:444.
38. Bair AE, Rose JS, Vance CW, et al. Ultrasound-assisted peripheral venous access in young children: a randomized controlled trial and pilot feasibility study. *West J Emerg Med* 2008; 9:219.
39. Benkhadra M, Collignon M, Fournel J, et al. Ultrasound guidance allows faster peripheral IV cannulation in children under 3 years of age with difficult venous access: a prospective randomized study. *Paediatr Anaesth* 2012; 22:449.
40. Shokoohi H, Boniface K, McCarthy M, et al. Ultrasound-guided peripheral intravenous access program is associated with a marked reduction in central venous catheter use in noncritically ill emergency department patients. *Ann Emerg Med* 2013; 61:198.
41. Schnadower D, Lin S, Perera P, et al. A pilot study of ultrasound analysis before pediatric peripheral vein cannulation attempt. *Acad Emerg Med* 2007; 14:483.
42. Curtis SJ, Craig WR, Logue E, et al. Ultrasound or near-infrared vascular imaging to guide peripheral intravenous catheterization in children: a pragmatic randomized controlled trial. *CMAJ* 2015; 187:563.
43. Stone MB, Teismann NA, Wang R. Ultrasonographic confirmation of introsseous needle placement in an adult unembalmed cadaver model. *Ann Emerg Med* 2007; 49:515.
44. Bail RD, Scouras NE, Orebaugh S, et al. Randomized, prospective, observational simulation study comparing residents' needle-guided vs free-hand ultrasound techniques for central venous catheter access. *Br J Anaesth* 2012; 108:72.
45. Stone MB, Moon C, Sultijono D, Blaivas M. Needle tip visualization during ultrasound-guided vascular access: short-axis vs long-axis approach. *Am J Emerg Med* 2010; 28:343.
46. Tokumine J, Lefor AT, Yonei A, et al. Three-step method for ultrasound-guided central vein catheterization. *Br J Anaesth* 2013; 110:368.
47. Kost, SI. Ultrasound-assisted venous access. In: *Textbook of Pediatric Emergency Procedures, 2nd edition*. King, C, Henretig, FM (Eds). Lippincott Williams and Wilkins, Philadelphia 2008. p.1255.
48. Hebard S, Hocking G. Echogetic technology can improve needle visibility during ultrasound-guided regional anesthesia. *Reg Anesth Pain Med* 2011; 36:185.
49. Deam RK, Kluger R, Barrington MJ, McCutcheon CA. Investigation of a new echogenic needle for use with ultrasound peripheral nerve blocks. *Anesth Intensive Care* 2007; 35:582.
50. Ortega R, Song M, Hansen CJ, Barash P. Videos in clinical medicine. Ultrasound-guided internal jugular vein cannulation. *N Engl J Med* 2010; 362:e57.
51. Joing S, Strote S, Caroon L, et al. Videos in clinical medicine. Ultrasound-guided peripheral i.v. placement. *N Engl J Med* 2012; 366:e38.

# Guiding perikardiální punkce

---



# Guiding pleurální punkce





# Co lze očekávat od zobrazovacích metod v prostředí IP/ER?

---

- ✓ Stanovení **diagnózy** s možností volby kauzální terapie
- ✓ Predikci krátkodobé a dlouhodobé **prognózy**
- ✓ Optimalizace **terapie**
  - Hemodynamika
  - Zajištění centrálního žilního a arteriálního vstupu
  - Guiding punkčních výkonů (perikard, pleura,...)

# Co bych měl umět 24/7?

---

- ✓ Při stanovení **diagnózy** získat kategorický nález pomocí (zpravidla) 2D zobrazení.
- ✓ Pro predikci **prognózy** je kompetentně zhodnotit kvantitativní parametry jednotlivých zobrazovacích modalit.
- ✓ Pro optimalizaci **terapie** (zpravidla v rámci guidingu kanylací a punkcí) s podporou UZ si vzpomenout na užitečnost této metody.



European Heart Journal – Cardiovascular Imaging (2015) 16, 119–146  
doi:10.1093/ehjci/jeu210

## The use of echocardiography in acute cardiovascular care: Recommendations of the European Association of Cardiovascular Imaging and the Acute Cardiovascular Care Association

Patrizio Lancellotti<sup>1\*</sup>, Susanna Price<sup>2\*</sup>, Thor Edvardsen<sup>3</sup>, Bernard Cosyns<sup>4</sup>, Aleksandar N. Neskovic<sup>5</sup>, Raluca Dulgheru<sup>1</sup>, Frank A. Flachskampf<sup>6</sup>, Christian Hassager<sup>7</sup>, Agnes Pasquet<sup>8</sup>, Luna Gargani<sup>9</sup>, Maurizio Galderisi<sup>10</sup>, Nuno Cardim<sup>11</sup>, Kristina H. Haugaa<sup>3</sup>, Arnaud Ancion<sup>1</sup>, Jose-Luis Zamorano<sup>12</sup>, Erwan Donal<sup>13</sup>, Héctor Bueno<sup>14</sup>, and Gilbert Habib<sup>15</sup>

## GUIDELINES AND STANDARDS

### Guidelines for Performing Ultrasound Guided Vascular Cannulation: Recommendations of the American Society of Echocardiography and the Society of Cardiovascular Anesthesiologists

Christopher A. Troianos, MD, Gregg S. Hartman, MD, Kathryn E. Glas, MD, MBA, FASE, Nikolaos J. Skubas, MD, FASE, Robert T. Eberhardt, MD, Jennifer D. Walker, MD, and Scott T. Reeves, MD, MBA, FASE, for the Councils on Intraoperative Echocardiography and Vascular Ultrasound of the American Society of Echocardiography, *Pittsburgh, Pennsylvania; Lebanon, New Hampshire; Atlanta, Georgia; New York, New York; Boston, Massachusetts; and Charleston, South Carolina*

(J Am Soc Echocardiogr 2011;24:1291-318.)

**Keywords:** Anatomy, Artery, Cannulation, Femoral, Guidelines, Internal jugular, Pediatric, Peripheral, Subclavian, Ultrasound, Vascular, Venous

Available online at [www.sciencedirect.com](http://www.sciencedirect.com)

ScienceDirect

journal homepage: [www.elsevier.com/locate/crvasa](http://www.elsevier.com/locate/crvasa)



European Heart Journal (2016) 37, 2097–2104  
doi:10.1093/eurheartj/ehw164

REVIEW

Clinical update

### Ultrasound of extravascular lung water: a new standard for pulmonary congestion

Eugenio Picano<sup>1\*</sup> and Patricia A. Pellikka<sup>2</sup>

<sup>1</sup>CNR Institute of Clinical Physiology, Italian National Research Council, Pisa 56124, Italy; and <sup>2</sup>Department of Cardiovascular Diseases, Mayo Clinic College of Medicine, Rochester, MN, USA

Přehledový článek | Review article

### Využití echokardiografie v akutní kardiovaskulární péči. Souhrn dokumentu připravený Českou kardiologickou společností

(The use of echocardiography in acute cardiovascular care.  
Summary of the document prepared by the Czech Society of Cardiology)

Martin Hutyra<sup>a</sup>, Tomáš Paleček<sup>b</sup>, Milan Hromádka<sup>c</sup>

